

Univerzita Palackého v Olomouci

Bakalářská práce

Olomouc 2014

Klára Smazová

Univerzita Palackého v Olomouci
Přírodovědecká fakulta
Katedra buněčné biologie a genetiky



Konstrukce a využití celochromozómových FISH
prób

Bakalářská práce

Klára Smazová

Studijní program: Biologie
Studijní obor: Molekulární a buněčná biologie
Forma studia: Prezenční

Olomouc 2014

Vedoucí práce: doc. RNDr. Vladan Ondřej, Ph.D.

Prohlá-uji, že jsem bakalá skou práci na téma Konstrukce a využití celochromozómových FISH prób vypracovala samostatn ě s pomocí vedoucího práce doc. RNDr. Vladana Ond ěje, Ph.D., a že jsem citovala v ěchny pouflitě zdroje.

V Olomouci dne 9. 5. 2014

Podpis.....

Souhrn

Celochromozómovými próbami sestavenými z bakteriálních umělých chromozómů máme možnost znát jednotlivé chromozómy rostlin s malými genomy. Vyvíjí se pomocí metody fluorescenční *in situ* hybridizace. Tato metoda se vyvíjí ke sledování morfologie interfázních jader a nyní se také zaměřuje teoretická část práce. Tato bakalářská práce se také zabývá změnami chromatinu způsobenými vlivem stresu na protoplasty. Cílem práce bylo sestavení celochromozómové próby chromozómu 2 *Arabidopsis thaliana*. Především se však zabývá pouze čtvrtinou chromozómu 2. Tato část odpovídá organizátoru jadérka.

Summary

Whole chromosome probes prepared from BAC vectors may be used to individually paint chromosomes of plants with small genomes. Fluorescence *in situ* hybridization is used for this purpose. The theoretical part focuses on using this method to study the morphology of interphase nuclei. This thesis also deals with changes in chromatin caused by the stress on protoplasts. The objective of this work was to assemble the whole chromosome probe for chromosome 2 of *Arabidopsis thaliana*. But only a quarter of the chromosome was successfully hybridised. This part of the chromosome responds to the nucleolus organizer.

Podkování

Chtěl bych tímto podkovat svému vedoucímu doc. RNDr. Vladanu Ondřejovi, Ph.D. za vedení a cenné rady při zpracování mé bakalářské práce.

Obsah

1	Cíle práce.....	9
2	Úvod.....	10
3	Teoretická část.....	11
3.1	<i>Arabidopsis thaliana</i>	11
3.1.1	Genom.....	11
3.1.2	Chromocentra	13
3.1.3	Interfázní jádro <i>Arabidopsis thaliana</i>	13
3.1.4	Uspořádání teritorií <i>Arabidopsis thaliana</i>	14
3.1.5	Změna v teritoriích při expresi	15
3.2	Fluorescenční <i>in situ</i> hybridizace	16
3.2.1	BAC knihovny.....	16
3.2.2	Bakteriální umělý chromozóm (BAC)	17
3.2.3	Celochromozómové barvení.....	18
3.3	Organizace genomu a vztah ke genomové funkci	19
3.3.1	Primární organizace genomu	19
3.3.2	Sekundární organizace	20
3.3.3	Terciální organizace.....	20
3.3.4	Kompaktnost chromatinu	20
3.3.5	Pozice chromatinového vlákna v jádře.....	21
3.3.6	Teorie kompaktního chromozómního vlákna	22
3.3.7	Variace od bučky k bučce	23
3.4	Chromozómová teritoria	23
3.5	Reakce rostlin na stres	25
3.5.1	Protoplasty.....	25
3.5.2	Dediferenciace	26
3.5.3	Reaktivní kyslíkové radikály (ROS)	26
3.5.4	Dekondenzace chromatinu	27
4	Praktická část.....	29
4.1	Biologický materiál	29
4.2	Přístroje.....	29
4.3	Chemikálie a roztoky.....	30
4.4	Metody.....	34

4.4.1	Množení bakterií	34
4.4.2	Izolace DNA	34
4.4.3	DOP PCR	35
4.4.4	Nick-Translace.....	35
4.4.5	Převedení próby do formamidu	35
4.4.6	Denaturace sondy.....	36
4.4.7	Elektroforéza	36
4.4.8	Sterilizace semen <i>Arabidopsis</i>	36
4.4.9	Vysazení semínek	37
4.4.10	Izolace protoplast	37
4.4.11	FISH metoda.....	37
5	Výsledky.....	39
6	Diskuze.....	45
7	Závěr	47
8	Seznam zkratk a pojm	48
9	Zdroje	49

1 Cíle práce

Teoretická část práce se zabývá genomem *Arabidopsis thaliana*, principem sestavení a použitím FISH sondy a knihoven bakteriálních umělých chromozóm (BAC). Zaměřuje se na organizaci genomu interfázního jádra a jeho uspořádání v chromozómových teritoriích. Teoretická část se dále zabývá změnami v interfázním jádře protoplastů po průběhu diferenciace a možným epigenetickým vlivem stresu na stavbu chromozómových teritorií.

Cílem práce bylo využít BAC klonů k sestavení celochromozómové próby chromozómu 2 *Arabidopsis thaliana*. Následně sledování stresových změn pomocí FISH sondy v interfázních jádrech protoplastů.

2 Úvod

Arabidopsis thaliana je modelovým organismem genetiky. Celý genom byl osekvenován poměrně brzy (roku 2000) a krátce na to byly sestaveny knihovny umělých bakteriálních chromozómů (BAC). Bakteriální klony mohou sloužit jako sondy pro fluorescenční *in situ* hybridizaci (FISH). Touto metodou se pomocí fluorescenční značené sondy zviditelní specifická sekvence DNA. Fluorescenční *in situ* hybridizaci jsme zvolili pro vizualizaci chromozómů v interfázním jádře protoplastu *A. thaliana*.

Studium chromozómových teritorií *Arabidopsis* je zajímavé, protože má odlišnou architekturu jádra než rostliny s velkými genomy, které zaujmají Rablovu konfiguraci. *Arabidopsis* je také rostlinou, která byla nabarvena celochromozómovými sondami sestavenými z BAC klonů (Lysak *et al.*, 2001). Tímto způsobem je možné nabarvit pouze rostliny s malými genomy. Protože se celochromozómové barvení u rostlin s velkými genomy příliš nedaří, organizace genomu je u rostlinných buněk méně popsána než u živočišných buněk.

Celochromozómové barvení se využívá k analýzám uspořádání genomu a organizaci chromozómových teritorií v interfázních jádrech. Dále je možné tuto metodu použít i pro studium chromatinových změn u buněk protoplastu, které během své dediference a při zpětném vstoupení do buněčného cyklu podléhají rozsáhlou chromatinovou dekonkondenzaci a následnou rekondenzaci spojenou s reprogramováním buněk.

3 Teoretická část

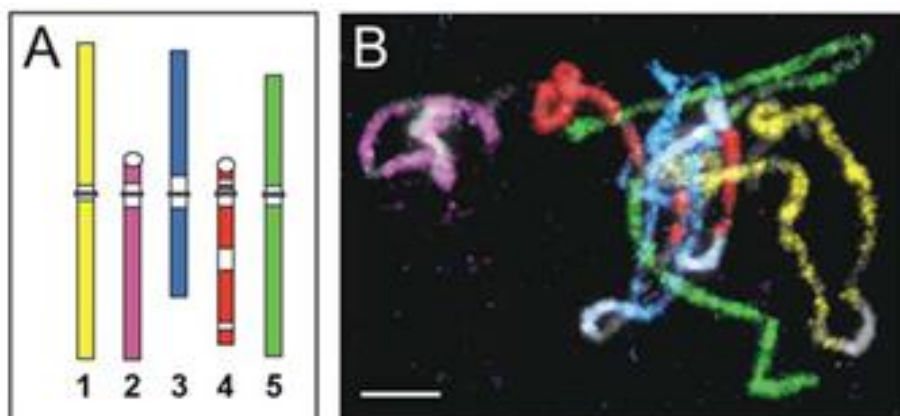
3.1 *Arabidopsis thaliana*

Arabidopsis thaliana je důležitým modelovým organismem pro identifikaci genů a určení jejich funkcí. Jedná se o první sekvencovanou rostlinu. Pro genomovou analýzu má mnoho výhod, zahrnující krátký životní cyklus, malou velikost, velké množství potomstva a relativně malý jaderný genom. Tyto výhody umožnily široké využití a charakterizaci mnoha genů (Meinke *et al.*, 1998).

3.1.1 Genom

Genom *Arabidopsis thaliana* se skládá z pěti chromozómů a jeho celková velikost je přibližně 135 Mb (Arabidopsis.org). Dva největší chromozómy 1 a 5 jsou metacentrické a dva nejkratší chromozómy 2 a 4 jsou akrocentrické a na krátkých ramenech nesou subterminální organizátor jadérka. Zatímco chromozóm 3 je submetacentrický a střední velikosti (Fransz *et al.*, 1998).

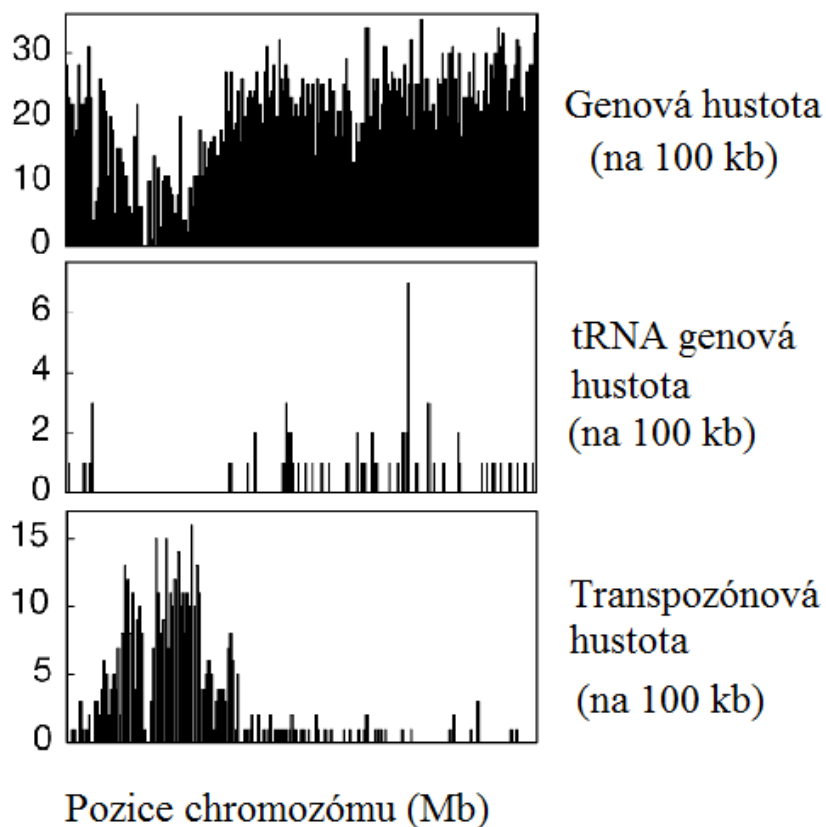
U *Arabidopsis thaliana* se v genomu nachází málo repetitivních sekvencí, ty jsou shromážděny hlavně v pericentromerickém chromatinu a organizátoru jadérka (NOR). Organizátory jadérka obsahují soubory jednotlivých repetitivních sekvencí kódující 18S, 5,8S a 25S ribozomální RNA geny a jsou transkribovány RNA polymerázou I. Zatímco 5S RNA geny jsou přepisovány RNA polymerázou III a jsou v heterogenních souborech umístěny v centromerických oblastech chromozómů 3, 4 a 5. Dohromady tato rRNA tvoří katalytické jádro cytoplazmatických ribozómů (Arabidopsis genome initiative).



Obr. 1. Barevné schéma chromozómů *Arabidopsis thaliana* a vizualizace chromozomálních párů pomocí celochromozómových průb. Podle Pecinka *et al.* 2004.

3.1.1.1 Chromozóm 2

Chromozóm 2 je druhý nejkratší chromozóm *Arabidopsis thaliana*. Je akrocentrický a na svém krátkém raménku nese oblast organizátoru jadérka. V této oblasti se nachází tandemové repetice pro rRNA geny, což jsou nejkonzervovanější a nejvíce transkribované geny. Geny kódující tRNA jsou rozmístěny nejvíce na dlouhém raménku chromozómu. Repetitivní sekvence jsou přibližně rovnoměrně distribuovány na celém chromozómu, kromě oblasti centromery. Rovná hustota genů a exprese jsou konzistentní po celé délce chromozómu s výjimkou pericentromerické oblasti. V pericentromerické oblasti se nachází velmi malý počet genů, jedná se o oblast nízké exprese. Do této oblasti je také vloženo značné množství transpozónů, jak ukazuje obr. 2, ale také se zde nejvíce vlehuje mitochondriální a chloroplastová DNA (Arabidopsis genome initiative, 2000).



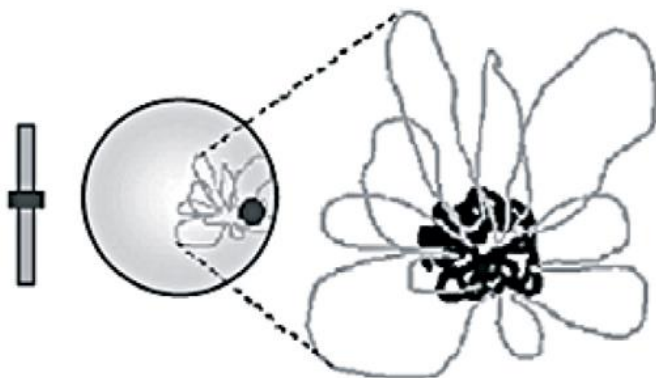
Obr. 2 Graf hustoty distribuce transpozónů a genů na chromozómu 2 *Arabidopsis thaliana*. Upraveno podle Lin 1999.

3.1.2 Chromocentra

Chromocentra u *Arabidopsis thaliana* jsou oddělené jaderné domény hlavně z pericentrického heterochromatinu zahrnující tandemové a rozptýlené repetice. Chromocentra jsou složená z pericentrických oblastí všech chromozómů a u chromozómů 2 a 4 také obsahují subtelomerické 45S rDNA ribozomální repetitivní oblasti. Geny bohaté chromozomální části jsou méně kondenzované a uspořádané do smyček tvořících rozetovou strukturu (Fransz *et al.*, 2002).

Reorganizace chromocenter v protoplastech *Arabidopsis* zajistila systém pro studování dynamiky a molekulárních mechanismů heterochromatinového uspořádání ve vyšších eukaryotních organismech.

Cytogenetické studie prokázaly, že chromocentra se mohou během vývojových stádií ztvárnit (Tessadori *et al.*, 2004). Navzdory tomu, že jsou chromocentra oblastí v genomu chudé na geny je jejich přechodná disociace v protoplastech zapojená do správného organizování vývojového plánu (Fransz *et al.*, 2006).

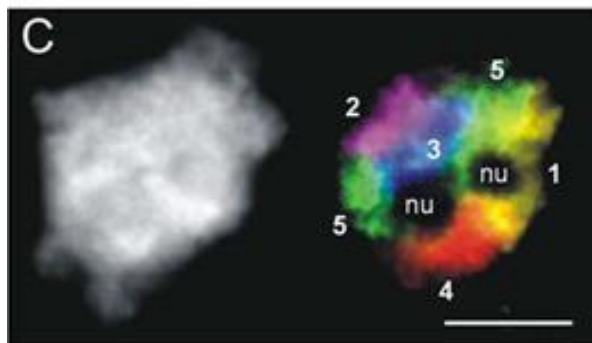


Obr. 3.6 Model CT architektury buněného jádra u *Arabidopsis thaliana*. Každé CT je tvořené chromocentrem, ze kterého vybíhají velké euchromatinové smyčky. Podle Cremer 2007.

3.1.3 Interfázní jádro *Arabidopsis thaliana*

Diferenční barvení všech pátých chromozómových párů *Arabidopsis thaliana* poprvé odhalilo interfázní chromozómové uspořádání v euploidních rostlinách (Pecinka *et al.*, 2004). Kdy zatímco jádra mnoha rostlinných druhů s velkými genomy a metacentrickými chromozómy vykazují takzvanou Rablovu orientaci s centromerickými oblastmi shromážděnými na jednom

pólu a telomerickými oblastmi shromážděnými na opačném pólu, interfázní jádro *Arabidopsis thaliana* Rablovu konfiguraci nezaujímá. Místo toho uvnitř jejich odlišných chromozómových teritorií jsou heterochromatinové centromerické oblasti náhodně umístěny na periferii jádra, telomery jsou shromážděny okolo jadérka a chromozómová ramena formují euchromatinové smyčky rozdílné velikosti vycházející z heterochromatinových chromocenter (Fransz *et al.*, 2002; Pecinka *et al.*, 2004).



Obr. 4 - Interfázní jádro *Arabidopsis thaliana* s chromozómovými teritoriemi vizualizovanými celochromozómovými sondami. Podle Pecinka *et al.* 2004.

3.1.4 Uspořádání teritorií *Arabidopsis thaliana*

Z velké části náhodná poloha chromozómových teritorií a uspořádání heterochromatinových domén ve všech studovaných diferenciovaných i meristematických typech buněk ukazuje, že buněná diferenciace nemá výrazný vliv na tyto parametry jaderné organizace v rámci studovaných pletiv *Arabidopsis thaliana* (Berr *et al.*, 2007).

V jádře *A. thaliana* byla nalezena znatelná a chromozómově specifická asociace homologických centromer (Fransz *et al.*, 2002).

Frekvence asociace je pro teritoria homologních chromozómových ramen náhodná pro chromozómy 1, 3, 5 a vyjímá asociace chromozóm 2 a 4 u všech testovaných typů jader. Asociace celých homologických chromozóm 2 a 4 a úplná separace byla méně zastáta, než byla předpokládána náhodná frekvence ve všech testovaných typech jader *Arabidopsis thaliana*. Znatelný nárůst v asociativní frekvenci homologních teritorií celých a horních ramen chromozóm 2 a 4 je zřejmě kválitástemu přičycení organizátoru jadérka k jednomu uritému jadérku (ve více než 90% jader) ve zprostředkování asociace homolog (Pecinka *et al.*, 2004).

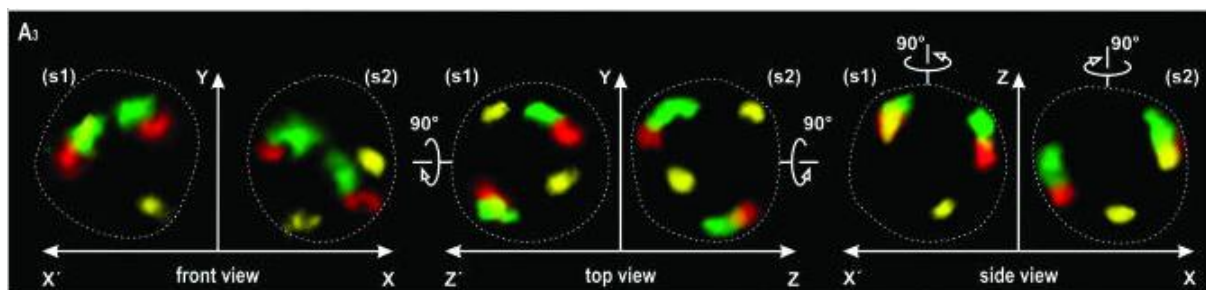
Sledováním dynamiky uspořádání chromozómových teritorií v sesterských buňkách *A. thaliana*, byla nalezena zrcadlová symetrie homologních chromozómových teritorií ihned po proběhnutí mitózy, toto uspořádání se časem rozpadá. Tato symetrie však není patrná mezi sousedními spojenými, ale nesesterskými jádry nebo mezi sesterskými jádry plně diferenciováných svracích buňkách (Berr *et al.*, 2007).

Uspořádání chromozómových teritorií se víceméně nelíší u jader se stejným tvarem, i když jsou izolována z různých orgánů (Pecinka *et al.*, 2004) nebo v rámci několika odlišných diferenciováných a meristemických buňkových typů neporušených pletiv *A. thaliana*.

Počet periferně umístěných centromerických heterochromatinových bloků se zvýšil v endoreduplikujících buňkách, nejspíše protože prostorová centromerická asociace je zbrzděna zvyšujícím se počtem identických chromatid (Schubert *et al.*, 2006).

Bylo také zjištěno, že signály NOR se spojují dohromady v diferenciováných buňkách, což může být vysvětleno jejich nasedáním na stejné jádrko, které je u diferenciováných buňkách menší než u buňkách meristemických (Berr *et al.*, 2007).

Jaderná architektura se tak zdá být náhodná, jelikož není určena morfologickými omezeními jako je tvar jádra, jaderný obsah nebo endopolyploidní stupeň. Chromozómová teritoria se od sebe nelíší u diferenciováných a meristemických buňkách (Berr *et al.*, 2007).



Obr. 5 - Porovnání zrcadlové symetrie sesterských buňkách *Arabidopsis thaliana* podle Berr 2007.

3.1.5 Změna v teritoriích při expresi

Pro testování jestli transkripční aktivita může mít vliv na organizaci CT, to znamená, jestli transkribovaný gen zabírá jinou pozici vzhledem ke svému CT než v umlčeném stavu, byla testována relativní pozice FWA genu (gen pro kvetení) u *Arabidopsis thaliana* pro jeho přítomnost uvnitř nebo vně teritoria, umístěného na spodním ramenu chromozómu 4, v aktivní a umlčeném stavu. Nenašel se žádný zřejmý rozdíl. Relativní pozice genu FWA

uvnit CT tedy nezáležela na transkripčním stavu (Pecinka *et al.*, 2004). Bylo však již prokázáno, že transkripční aktivace má ní pozici gen .

3.2 Fluorescenční *in situ* hybridizace

Fluorescenční *in situ* hybridizace (FISH) je cytogenetická metoda lokalizace sekvencí nukleových kyselin hybridizací fluorescenční značených sond. Tato metoda umožňuje lokalizaci a naznačení genů a specifických genomových oblastí na cílových chromozómech. Cílová nukleová kyselina hybridizuje s komplementární fluorescenční značenou sondou. Hybridizace *in situ* znamená, že cílová nukleová kyselina je přítomna v biologickém materiálu, nemusí se izolovat.

FISH metoda znamenala pro cytogenetiku velký průlom. Hybridizační metody mají široké využití v molekulární biologii a medicíně. V prenatální diagnostice pomáhají zjišťování genetických poruch, pomáhají detekci genových i chromozomálních aberací. Značný význam má tato metoda při mapování genomu, k analýzám genové exprese a detekcím specifických transkriptů RNA (Kovářek, 2007).

Jako sondy se používají úseky klonované DNA izolovaných z vektorů, kdy se jako vektory používají plazmidy, vektory odvozené od bakteriofágů, kosmidy, fágomidy a umělé chromozómy (BAC, YAC, PAC), (Snustad *et Simmons*, 2009).

3.2.1 BAC knihovny

Rozlišíme genomové a komplementární DNA (cDNA) knihovny. Genomové knihovny vznikly napřímením celkové DNA. Zahrnují nejen kódující DNA, ale i introny, regulační oblasti genů a repetitivní sekvence. Výhodou cDNA knihoven je, že obsahují pouze kódující sekvence genů, mohou se využívat k určení pořadí aminokyselin nebo přímo k syntéze daného proteinu. Knihovny cDNA se sestavují přímo z mRNA reverzní transkriptázou do DNA sekvence. DNA se restrikuje endonukleázou napřímeně na fragmenty, které se vkládají do vektorů (Alberts *et al.*, 2005).

Knihovny umělých bakteriálních chromozómů jsou důležitými nástroji pro mapování a analýzu genomu. BAC knihovny se výrazně podílely na projektech genomového sekvencování (Asakawa *et al.*, 1997; Dunham *et al.*, 1999) a na klonování genů způsobujících onemocnění (Kitada *et al.*, 1998).

Jestliže je potřeba získat velký počet kopií fragmentu DNA, využívá se k tomu klonování pomocí bakteriálních vektorů, do nichž se vkládá inzertní DNA pro amplifikaci. Bakteriálním vektorem je plazmid, který má v těle buňky kolem několika tisíc párů bází. Jedná se o kruhovou molekulu replikující se nezávisle na bakteriálním chromozómu. Každý klonovací vektor musí mít místo replikace, dominantní selekční marker a mnoho dalších klonovacích míst.

Pro vnesení inzertu je důležité, aby měl plazmid místo rozeznávané restrikční endonukleázou, která plazmid i fragment DNA rozřezá, za soustředěného vytvoření kohezivních konců. Následuje inserce fragmentu DNA a ligace kohezivních konců DNA ligázou. Tímto způsobem se vytvoří rekombinantní molekula, která se vnáší transformací do bakteriální buňky. Pro transformaci se musí používat kompetentní buňky, kultivované tak, aby byly propustnou buněčnou stěnou. Cytoplazmatická membrána se destabilizuje teplotním šokem a elektroporací, poté se vektor transformuje do buňky.

Podle selekčního markeru se odlišují buňky s inzertem a bez inzertu. Jako selekční marker se využívá rezistence na antibiotikum, lacZ-gen nebo letální gen ccdB.

E. coli se dokáže dle každých 30 minut, denně tak mohou vznikat stovky miliónů kopií plazmidu. Transformované bakterie se lyzují a izoluje se DNA plazmidu, ze kterého můžeme získat požadovaný fragment DNA (Alberts *et al.*, 2005).

Dříve používané vektory YAC, které se používaly k vytváření map, jsou často nestabilní chimérické povahy (Green *et al.*, 1991; Larinov *et al.*, 1994; Koupriva *et al.*, 1994). DNA klonovaná v YAC vektorech je obtížné získat v určité formě. Bylo nutné najít nový vektor s velkým inzertem, který je stabilní a snadný pro manipulaci.

3.2.2 Bacteriální umělý chromozóm (BAC)

Byl vyvinut jako vektor k umožnění klonování a stabilnímu uchování velkého inzertu DNA v *Escherichia coli*. BAC vektorem je jednokopiový plazmid F faktor, klony jsou velmi stabilní po mnoho generací. BAC systém je založený na dobře prostudovaném F faktoru *E. coli*. Replikace F faktoru v *E. coli* je striktně kontrolována (Willetts *et al.*, 1987). F plazmid je udržován v jedné nebo dvou kopiích na buňku, a tak snižuje potenciál pro rekombinaci mezi DNA fragmenty nesenými v plazmidu (Shibuya *et al.*, 1992).

Tento vektor dokáže uchovat i více než 300 kb. BAC klonovací systém má výhody velké klonovací účinnosti, jednoduchou manipulaci s klonovanou DNA, ve stabilním udržení vložené DNA a jednoduchou purifikaci alkalickou lyzí (Katagiri *et al.*, 2001).

Jedním z důležitých aspektů v každém klonovacím systému je genetická stabilita klonované DNA. Výsledky prokázaly stabilní strukturu DNA v BAC vektoru, to znamená, že klonovaná DNA je stabilním zdrojem specifických fragmentů. (Shibuya *et al.*, 1992)

U některých klonů v genomických knihovnách se může předpokládat nestabilita v určitém hostiteli a to kvůli rekombinantní aktivitě specifických DNA sekvencí. Bakteriální systém má tyto výhody, že cesta genetické rekombinace v *E. coli* byla podrobně popsána a problémy nestability se mohou vyřešit použitím vhodného bakteriálního mutanta, kterému chybí některé rekombinací funkce. (Shibuya *et al.*, 1992)

Pro kvalitu BAC knihovny jsou důležité určité podmínky. Zaprvé velké procento klonů by mělo mít inzert, a podíl chimérických klonů by měl být nízký. Zadruhé by velikost inzertu měla být velká a homogenní. Nakonec by měla knihovna obsahovat velký počet nezávislých klonů.

3.2.3 Celochromozómové barvení

Celochromozómové barvení se stalo silným nástrojem k identifikaci chromozómů a jejich aberací pro diagnostické účely. Dále také k testování mutagenicity, stejně jako studie karyotypických změn v průběhu evoluce.

U rostlin však celochromozómové barvení selhalo, tato snaha nepřinesla jednoznačné a reprodukovatelné výsledky. Celochromozómové barvení se delší dobu nedařilo provést na rostlinách kvůli velkému množství rozptýlených repetitiv. Pro potlačení rozptýlených repetitiv nefungovala ani cotDNA ani genomická DNA (Fuchs *et al.*, 1996).

Pomocí genomové *in situ* hybridizace bylo možné naznačit pouze celý genom rostliny, nikoliv jednotlivé chromozómy. FISH barvení bylo až později úspěšně provedeno za použití BAC/YAC inzertů na rostlinách s malým genomem, bez velkého množství repetitivních sekvencí v genomu (Fransz *et al.*, 2000).

První nabarvený chromozóm u *Arabidopsis thaliana* byl chromozóm 4, který je nejkratší. Barvení je u *Arabidopsis thaliana* možné díky malému výskytu repetitivních sekvencí a malému genomu. BAC klony byly připraveny brzy poté, co byl osekvenován genom. Avšak není možné mikrodisekce ani titrování chromozómů flow-cytometrií kvůli jejich malé velikosti, i když by barvení pomocí celých chromozómů nejspíše bylo možné (Lysak *et al.*, 2001).

Nyní, když je barvení možné pomocí BAC, umožní nám poprvé nabarvit celý autozóm pro studium rearangementu, homologických asociací, interfázních chromozómových teritorií

a identifikaci homologických chromozóm u příbuzných druhů. Můžeme také sledovat chromozómy během různých vývojových stádií (Lysak *et al.*, 2001).

Barvení chromozómů rostlin chromozómní *in situ* supresní hybridizací není je-t proveditelný, zjevně kvůli velkému počtu a komplexnosti interchromozómní rozptýlených repetitivních sekvencí, který nemohou být účinně zablokovány, když jsou sekvence odvozené od chromozómů použity jako sondy (Schubert *et al.*, 2001). Zatím tak mohou být jednotlivá chromozómní teritoria v jádru rostlin sledována pouze u alien chromozómů vyskytujících se u mezidruhových hybridů pomocí genomické *in situ* hybridizace (Schwarzacher *et al.*, 1989). Avšak u sledování cizorodých chromozómů si nemůžeme být jisti, jestli se v jádru nechovají jiným způsobem než chromozómy původní (Goetze *et al.*, 2007).

3.3 Organizace genomu a vztah ke genomové funkci

Bučky vyšších eukaryot jsou schopny efektivně a spolehlivě kontrolovat transkripční aktivitu nejen desítek tisíc genů kódujících proteiny, ale i neznámého počtu genů s odlišnými funkcemi. Bučky regulují transkripci nejméně dvěma způsoby. Prvním jsou transkripční faktory kontrolující genovou aktivaci a represí, ty fungují kombinovaně se sebou. Druhým způsobem kontroly genové exprese je prostorové uspořádání genomu v interfázním jádru. Zatímco první způsob regulace je intenzivně studován, o tom, jak se 3D genomová organizace podílí na regulaci transkripce, víme poměrně málo (Goetze *et al.*, 2007).

3.3.1 Primární organizace genomu

Geny v 1D eukaryotickém genomu nejsou uspořádány náhodně. Geny kódující proteiny se stejnou nebo podobnou funkcí jsou preferenčně shlukovány jako geny pro beta globin (Sproul *et al.*, 2005), Hox proteiny (Garcia-Fernandez *et al.*, 2005) jaderné histony apod. Tyto a jiné genové clustery pro transkripční aktivaci dekonduzují (Chambeyron *et al.*, 2005). Další genomické shlukování se vztahuje ke genové expresi, a bylo prokázáno lidskou mapou transkriptomu (Caron *et al.*, 2001). Geny se shlukují do oblastí zvýšené genetické exprese tzv. ridges (regions of increased gene expression), které jsou více ve vnitru jádra. Ridges jsou genově bohaté na rozdíl od antiridges. Geny s nízkou expresí vytvářejí antiridges, které se nacházejí blíže jaderné periférii a jsou 1,4x kompaktnější než ridges a mají více sférický tvar. Navzdory velké variaci od bučky k bučce, ridges a antiridges prokazatelně mají odlišnou chromatinovou strukturu. Tyto strukturní parametry se zdají být nezávislé na vzoru genové exprese, diferenciačním stavu a karyotypu (Goetze *et al.*, 2007b).

3.3.2 Sekundární organizace

Druhý stupeň genomové organizace je založený na interakci DNA s proteiny, kdy reaguje s histony a proteiny nehistonové povahy. Nejvýznamnější je interakce DNA s histony za formování nukleozómu. Tato interakce vede k formování chromatinu. Mezi proteiny nehistonové povahy patří RNA-polymerázy, proteiny transkripčního aparátu a proteiny skupiny vysoké pohyblivosti tzv. HMG proteiny (high mobility group). Interakcí DNA vlákna s proteiny se formuje chromatinová struktura, která je dlefitá pro transkripci, replikaci a opravy DNA. Postranní modifikace histon umožňuje vytvoření struktury pro transkripční přístup ke genovému lokusu. Vtina hmoty chromatinu je tvořena právě proteiny.

Podle stupně kondenzace rozliujeme dva stavy chromatinu. Euchromatin je v dekonenzovaném stavu a je transkripčně aktivní. Heterochromatin se je-t dále dle na fakultativní a konstitutivní. Fakultativní heterochromatin se během ontogeneze organismu může stát transkripčně aktivním, zatímco konstitutivní heterochromatin se nachází v kondenzovaném stavu po celý buněný cyklus a ve všech buňkách organismu, jedná se o jednoduché repetitivní sekvence DNA (Rosypal, 1999).

3.3.3 Terciální organizace

Eukaryotické jádro je velmi členité. Každý chromozóm zabírá své místo v jádře a má preferovanou radiální pozici (Cremer *et al.*, 2001). Příkladem členitosti je také shlukování rRNA genů v jadérku, které se nacházejí na odlišných chromozómech.

Radiální pozice chromozómových teritorií chudých a bohatých na geny byla zjištěna, může se lišit od buňky k buňce, i když průměrné hodnoty ukazují znatelnou korelaci s genovou hustotou. (Goetze *et al.*, 2007b)

3.3.4 Kompaktnost chromatinu

Kompaktní stav koreluje s transkripčními stupni (ridges, antiridges), avšak kompaktnost si ridges a antiridges udržují stále. Pro dekonenzovaný stav ridges není nutná probíhající transkripce. Tato otevřená struktura je zejména zapříčiněna relativně silnými interakcemi chromatinu právě podobně s proteinovými komplexy.

Odlišnosti v kompaktnosti ridges a antiridges přetrvávají i po biochemické frakcionaci (Gilbert *et al.*, 2004). Tyto rozdíly nejspíše způsobují odlišnosti v hustotě genů, délka mezigenových sekvencí nebo specifické je-t neidentifikované sekvence. Je zde

také možnost, že specifické sety proteinů a nekódující RNA mohou být vázány k funkcím odlišným typům genomických domén a tím způsobovat odlišné typy chromatinového skládání.

Struktury domén mohou dále ovlivňovat posttranslačně modifikované histony, kdy bylo zjištěno, že se transkripční aktivní domény překrývají s histon H3 acetylovanými ostrovy. Genomická distribuce těchto acetylovaných ostrovů zřejmě koreluje s ridges (Roh *et al.*, 2005).

Při analýze genových shluků HOXA a HOXB se ukázalo, že se po aktivaci zřejmě dekondují (Chambeyron 2005). Zjištěna byla i dekonduzace chromatinového lokusu po navázání transkripčního aktivátoru a dokonce, pokud transkripce neprobíhá (Tumbar *et al.*, 1999).

Byla rovněž vyslovena hypotéza, že ridges a antiridges vytvářejí mikroprostředí vlastní nízké a vysoké genové exprese. Ta by se mohla otestovat vložením reportérového genu se slabým promotorem do jiné pozice v genomu. Hypotéza pak předpokládá, že reportérový gen bude mít vyšší aktivitu, pokud bude vložen do ridges než do antiridges (Gierman *et al.*, 2007).

3.3.5 Pozice chromatinového vlákna v jádře

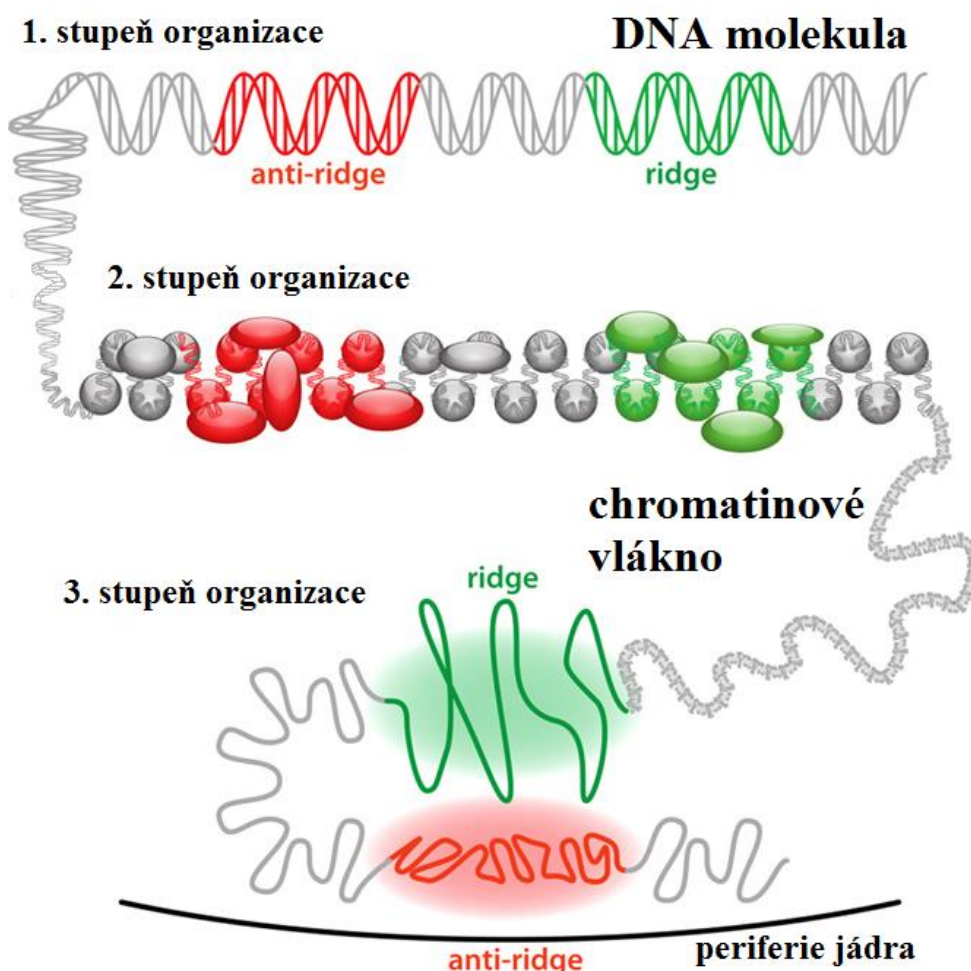
Prostorové uspořádání chromatinového vlákna v interfázním jádře ojaderná pozice. Korelace mezi transkripční aktivitou a pozicí v jádře byla popsána pro geny, shluky genů i celá chromozómová teritoria. Prokázáno bylo, že aktivní geny jsou umístěny blíže středu jádra než inaktivní geny, i když jsou známy i výjimky (Dietzel *et al.*, 2004). Například u kvasinek je transkripční umlněný chromatin připevněn k jaderné membráně právě podobně pomocí heterochromatinových faktorů (Taddei *et al.*, 2004). Pro chromozómová teritoria byla nalezena korelace mezi průměrnou pozicí v jádře a celkovou transkripční aktivitou a genovou hustotou, více aktivní chromozómy jsou preferenčně umístěny ve vnitru jádra, zatímco méně aktivní teritoria se vyskytují blíže periférii (Bridger *et al.*, 2000). Jiné studie tvrdí, že je korelace mezi velikostí chromozómového teritoria a radiální pozicí v jádře (Bolzer *et al.*, 2005).

Transkripční status jednotlivých genů není ovlivněn pouze jejich pozicí v interfázním jádře, ale také blízkými geny a regulačními elementy, které ovlivňují 3D strukturu genomu a tak i funkční stav jednotlivých genů. Bylo prokázáno, že transkripční aktivace má nízkou pozici genů. Příkladem takové co-determinace je uspořádání ridges, kdy ne všechny geny v ridges jsou aktivní, avšak ridges mají větší pravděpodobnost vyskytovat se v jaderném středu (Goetze *et al.*, 2007b).

3.3.6 Teorie kompaktního chromozomálního vlákna

Chromozomální vlákno v interfázi se samo se sebou nepromíchává. Výsledky ukazují, že odlišné části stejného chromozomového ramene vykazují velmi malý intermingling. Stejný nízký stupeň překryvání byl nalezen u ostatních genů chudých a genů bohatých domén (Shopland *et al.*, 2006) pro p a q rameno odlišných chromozóm (Dietzel *et al.*, 98) a pro kompletní chromozomová teritoria (Bolzer *et al.*, 2005).

Promíchávání mezi odlišnými chromozomovými teritorii může být tak vysoké jako 20% jaderného obsahu, kdy v t-inou dochází k překryvání na okrajích teritorií (Branco *et al.*, 2006). To je více než se zjistilo pro intrachromozomální mísení. Jestli je to pravda, pak promíchávání uvnitř CT více omezené než mezi odlišnými chromozómy. Chromozomální vlákno je silnější, více dekonzenzované a více nepravidelně tvarované v genů bohatých doménách (ridges) a více kompaktní a tenčí v geneticky chudých oblastech (antiridges).



Obr. . 6 - Schéma organizace DNA molekuly do chromatinového vlákna, vysoce exprimovaných oblastí a méně exprimovaných oblastí. Upraveno podle Goetze 2007b.

3.3.7 Variace od buky k buce

Předchozí teorie byla uvedena v průměru nebo v celkové rovině. Skládání chromatinu, jeho kompaktnost a pozice v jádře se však liší od buky k buce. Všechny tyto parametry ovlivňují genomovou funkci. Pro příklad radiální pozice genů bohatých a genů chudých chromozómových teritorií se podstatně lišila od buky k buce, zatímco průměrná síla ukazuje značnou závislost na genové hustotě (Boyle *et al.*, 2001). Variabilita genových buněk zahrnuje také kompaktnost a radiální pozici ridges a antiridges (Goetze *et al.*, 2007).

Co nám takovéto variace v genomové organizaci říkají? Očividně může být chromatin poskládán mnoha způsoby a stále být funkční. Termín chromatinová struktura označuje ve skutečnosti soubor různých poskládaných struktur chromatinového vlákna. Různými členy tohoto souboru se mohou znatelně lišit.

Co způsobuje variaci?

Dleflité možné vysvětlení pozorované variace je nucená difúze chromatinu v interfázi. V časovém rozmezí minut se při pozorování fluorescenční značeného lokusu v interfázním jádře zjistilo, že se může posunout o několik desetin mikrometru nebo více. Difúze tedy může být jeden z hlavních důvodů variace od buky k buce (Goetze *et al.*, 2007).

Pomocí difúze je přenos genů možný do odlišného prostředí, které může stimulovat nebo inhibovat transkripci. Je také možné, že přesná organizace chromatinu není tak důležitá pro buněčnou funkci a energetická bariéra mezi odlišnými stavy je malá.

3.4 Chromozómová teritoria

Na konci 19. století se v dědičném zájmu o problematiku chromozómového uspořádání v interfázním jádře a byly navrženy dva modely:

Rabloveho model – model říkající, že každý chromozóm zabírá určité teritorium a prolíná se pouze se sousedním teritoriem.

Špagetový model – předpokládá náhodné uspořádání chromozómů v prostoru, kde se chromozómy různě proplétají a prolínají se navzájem bez jaké organizace.

Po celých sto let nebyl nikdo schopen potvrdit nebo vyvrátit tyto teorie. Až roku 1980 se bratři Cremerové rozhodli experimentálně dokázat, která teorie je správná. Vyuffili k tomu specializovaný laser, který byl nastaven na takovou vlnovou délku, aby ničil DNA v buce. Pomocí tohoto laseru vypálili malé místo v jádře buky. Podle jejich teorie by se Rablova

teorie potvrdila, kdyby bylo po-kozeno pouze pár chromozóm , zatímco u š-pagetového modelu by bylo po-kozeno chromozóm více na různých místech.

Když docházelo k reparaci DNA, začali do buňky radioaktivně označené nukleotidy. Ty se poté začleňovaly do po-kozené DNA a tak ji označily. Poté co buňka vstoupila do mitózy a chromozómy se zkonzovaly, byly radiograficky zviditelněny.

Bylo zjištěno, že po-kození se týkalo pár chromozóm , takže se s největší pravděpodobností potvrdila teritoriální povaha chromozóm . Za pár let poté se tato teorie potvrdila úplně a to s vynalezením a použitím fluorescenční *in situ* hybridizace. Použila se specificky označená sonda pro každý chromozóm a ty se zvláště zviditelnily v nepo-kozeném jádru. Chromozómy zaujímaly teritoriální postavení.

Když byl tedy model chromozómových teritorií potvrzen, vdeci se začali zajímat o specifickou organizaci chromozómových teritorií, která ovlivňuje replikaci, reparaci a genovou expresi. Vzniklo tedy mnoho teorií o vnitřním uspořádání chromozómových teritorií (Misteli, 2008).

ICD model (interchromosomal domain)

Navrhoval, že mezi chromozómovými teritoriemi prochází interchromozómový prostor. Předpokládalo se, že geny se preferenčně transkribovaly v oblasti dekonzoovaného chromatinu na CT periférii a RNA transkripty by tak byly uvolněny přímo do ICD prostoru (Cremer *et al.*, 1993). Ukázalo se však, že geny se transkribují, jak na perifériích, tak uvnitř chromozómových teritorií. Proto byl tento model nahrazen IC-CT modelem.

IC-CT model (chromosome territory-interchromatin compartment)

Jednotlivá chromozómová teritoria jsou tvořena subdoménami, mezi nimiž proniká interchromatinový prostor. Subdomény jsou tvořeny částmi dekonzoovaným chromatinem na periférii, který je transkripčně aktivní, a kondenzovaným chromatinem ve střední doméne, kde se vyskytují nekódující sekvence, repetice apod. Organizace jednotlivých chromozómových teritorií není náhodná, subdomény se navzájem nepromíchávají. Interchromatinový prostor obsahuje makromolekulární komplexy potřebné pro replikaci, transkripci, sestih a opravy. Nevechna CT jsou však tímto prostorem ohraničena, proto může docházet k úzkému kontaktu jednotlivých teritorií, která mezi sebou nemají žádnou bariéru (Cremer *et al.* 2010).

Model IC-CT zatím nebyl vyvrácen, avšak byly navrženy další. Takzvaný ICN model a model Frasera a Bickmorové. Kdy ICN model vyvrací přítomnost interchromatinového prostoru mezi chromozómovými teritorii, zatímco model Frasera a Bickmorové je určitým kompromisem mezi těmito dvěma modely.

ICN model (interchromatin network)

U tohoto konceptu dochází k prolínání vláken a smyček chromatinu v rámci jednoho teritoria i mezi teritorii sousedními. Je zde větší počet smíšeného chromatinu. Mezi vlákny je dostatek prostoru pro jaderná tělíska avšak popírá se zde výskyt interchromatinového prostoru. Jednotlivá teritoria nejsou oddělená žádným prostorem.

Model Frasera a Bickmorové

Autoi tvrdí, že je v jádře kolokalizace genů pro expresi a koregulaci. Aktivní geny v dekonzenzovaném chromatinu zasahují jako smyčky z teritoria a kolokalizují nebo se transkribují v transkripčních továrnách.

Zajímavé je zjištění, že během nemoci se chromozómová teritoria přeskupují. Což může souviset se změnou expresí genů během onemocnění. Tento objev by mohl přinést nový náhled do mechanismu různých onemocnění (Misteli 2008).

3.5 Reakce rostlin na stres

3.5.1 Protoplasty

Protoplasty jsou rostlinné buňky kulovitěho tvaru částic nebo úplně postrádající buněnou stěnu. Buněná stěna se dá odstranit mechanicky nebo enzymatickým způsobem.

Díky tomu, že protoplasty byly uměle vytvořeny, mohou být využity k další biochemických a fyziologickým výzkumům. Může být u nich sledována syntéza buněčné stěny, dělení buněk, embryogeneze, ale hlavně reprezentují přímý příděl dediferenciace buňky. Po izolaci protoplastů a následné kultivaci mají schopnost dediferencovat a znovu vstoupit do buněného cyklu a poté proliferovat nebo zregenerovat do různých orgánů. Také se mohou stát novými rostlinami stejně jako zygoty (Grafí 2004). To je jeden důvod, proč jsou protoplastové kultury tak cennými nástroji pro biotechnologické aplikace jako jsou somatická hybridizace, zvyšování genetické variability somaklonální variabilitou a genetická transformace (Debeaujon *et* Branchard, 1992; Rakoczy-Trojanowska, 2002;

Navrátilová *et al.*, 2006). Avšak v mnoha druzích rostlin, se objevuje vysoký stupeň protoplastové rekalcitrance - neschopnosti diferenciaci (Papadakis *et Roubelakis-Angelakis*, 2002). Jako hlavní faktor zodpovědný za neschopnost diferenciaci rostlinných protoplastů byl navržen oxidativní stres.

3.5.2 Dediferenciace

Fyzické a morfologické změny buď mohou vést ke ztrátě specializace. Buď se tak dostává do stavu pluripotence. Jedná se o proces kontrolovaný mnoha geny stejně jako epigenetickými mechanismy zahrnujícími strukturální změny chromatinu, DNA metylaci a rozdělení organel. Proces dediferenciace zahrnuje znovuvstoupení do buněčného cyklu. Rovnováha mezi heterochromatinem a euchromatinem, přeprogramování genetické exprese i epigenetická regulace spolu s distribucí fytohormonů hrají v tomto procesu důležitou roli.

V procesu dediferenciace jsou pak dva druhy dekondezace, které se posuzují jako změny ve způsobu genové exprese (Zhao *et al.*, 2001). První fáze nastává, když se aplikuje enzymatický roztok během protoplastové izolace. Druhá fáze nastává, když je fytohormony navozeno opětovné vstoupení do buněčného cyklu (Jiang *et al.*, 2013).

3.5.3 Reaktivní kyslíkové radikály (ROS)

ROS fungují jako signální molekuly během biotických a abiotických stresů. Stejným způsobem jako během útoku patogenu, se ROS generuje během enzymatické macerace buněčné stěny během protoplastové izolace. ROS - superoxidový anionový radikál, peroxid vodíku a hydroxylové radikály jsou nevyhnutelně produkovány v buňkách vyvíjejících rostlin během normálního metabolismu. Jejich produkce je zesílena během stresových situací jako jsou sucho, salinita, vysoké a nízké teploty, UV nebo ozónový stres stejně jako u patogenových infekcí. ROS snižuje šíření patogenu zesílením buněčných stěn nebo přímým zabitím patogenu.

Rostliny vyvinuly mnoho obranných mechanismů, které jim pomáhají bránit se před sobou patogenu a vyrovnat se s akutním a chronickým stresem. K tomu vyvíjejí mechanismy krátkodobé odpovědi a systémy dlouhodobé obranné strategie. Rostlinné R-geny rezistence zajišťují rozeznávání parazitů a jsou extrémně polymorfní. Obranné mechanismy jsou spouštěny skrze mnoho odlišných signálních molekul, jako jsou protein kinázy, adaptorové proteiny, iontové změny, reaktivní kyslíkové radikály a oxid dusnatý. Tato transkripční

aktivace obranných genů a programovaná buněčná smrt se označuje jako hypersenzitivní odpověď (Arabidopsis genome initiative 2000).

Studie podporují hypotézu, že je zde korelace mezi rekondenzací chromatinu v protoplastovém jádře se stupněm oxidativního stresu v protoplastových kulturách. Jak je obecně známo oxidativní stres, plynoucí z nerovnováhy mezi generováním reaktivních kyslíkových radikálů (ROS) a antioxidantní schopností buněk, byl navržen jako přispívající k rekalcitranci rostlinných protoplastů (Papadakis *et Roubelakis-Angelakis*, 2002). Bylo dokázáno, že oxidativní stres mohl zapříčinit buněčnou smrt protoplastů způsobem podobným jako u hypersenzitivní odpovědi během napadení rostlinnými patogeny.

Stres a aklimatizační odpovědi v rostlinách jsou zprostředkovány celogenomovými změnami v expresi genů, buněčným proteomem a metabolomem. V posledních letech byl zaznamenán pokrok v porozumění, jak epigenetické a smRNA cesty kontrolují a organizují tyto změny. Epigenetické značky modifikují vlastnosti chromatinu a mění transkripční stavy genu, buď jednoho specifického genu, nebo rovnou celého genomu. Tyto značky dovolují v určité plasticitu a adaptibilitu rostlinným genomům k měnícím se přírodním podmínkám. DNA methylace je dobře známá jako epigenetický mechanismus, který ve velkém měřítku kontroluje stresovými indukované změny v rostlinném transkriptomu a hraje stálejší roli ve změnách chromatinové struktury. Spolu s modifikacemi histonu hrají i malé RNA důležitou roli při odpovědích na stres (Boyko *et Kovalchuk*, 2013).

3.5.4 Dekondenzace chromatinu

Chromatinové změny způsobené oxidativním stresem byly přímo studovány v buněčném jádře. U protoplastů různých druhů se zaznamenalo, že heterochromatin organizovaný v chromocentrech pro-eliminuje protoplastové izolace intenzivní dekondezaci (Tessadori *et al.*, 2007; Ondřej *et al.*, 2009). Bylo navrženo mnoho teorií, které by vysvětlily takto masivní dekondezaci. Dekondenzace je často spojována s reprogramováním buňky a dediferenciací v tomto stádiu protoplastové regenerace (Exner *et Hennig*, 2008).

Dekondenzací byla hlavně ovlivněna chromocentra představující konstituční heterochromatin (genově prázdné a umlčené části genomu), (Avramova, 2002; van Driel *et Fransz*, 2004). Dramatická redukce heterochromatinu zahrnuje dekondezaci všech hlavních repetitivních oblastí, zahrnující i centromerické 180 bp tandemové repetice. Pouze 45S rDNA repetice

z stávají v áste n kompaktním stavu. Dekondenzace pericentrického heterochromatinu nevedla k transkrip ní reaktivaci uml ených genomických element .

Po prodloužené kultivaci je dekonzenza ní proces vratný. Rekondenzace chromatinu do chromocenter je postupný proces. První rekondenzují 45S rDNA oblasti, t sn poté centromerické 180 bp oblasti a 5S rDNA repetic a nakonec rozptýlené repetic, v etn transpozón . Posloupnost zp tného sestavení koreluje s velikostí repetitivních oblastí. Výsledky ukazují odli-né formování pericentromerických repetic do r zných typ heterochromatinu, který se poté shlukuje a vytvá í chromocentrum (Tessadori *et al.*, 2007).

B hem rozsáhlé chromatinové dekonzenzace se nem ní stupe metylace DNA. To podtrhuje názor, že heterochromatinové rozvoln ní není kontrolované DNA demethylací. Stejn jako metylace ani modifikace histon není dostate ná pro vyvolání zhutn ní hetrochromatinu (Tessadori *et al.*, 2007).

Chromatinová dekonzenzace je v t-inou spojená se zvý-ením genové aktivity. V protoplastech v-ak nezp sobuje aktivaci uml ených element , dekonzenzace sama o sob nesta í k transkrip ní aktivaci. Po zformování protoplastu u *Arabidopsis* dochází k velké zm n genové exprese. Zatímco uml ené repetic z stávají neaktivní, aktivují se transkrip ní faktory zodpov dné za stresovou odpov a formování kmenových bun k (Olsen *et al.*, 2005). Zvý-ená exprese je spojená s geny ovliv ujícími rekonstrukci bun né st ny a s bun ným cyklem.

Av-ak dochází k navození zm n v genomu, vedoucí k somaklonální variabilit , známé z rostlinných biotechnologií. Tyto zm ny jsou asto spojeny s cytogenetickými abnormalitami, zahrnujícími zm ny ve stupni ploidity, chromozomálním p euspo ádání, aktivaci transpozón a retrotranspozón , vedoucí k mutacím, p í p emíst ní do oblastí s geny (Grafi 2009).

Rozsáhlá dekonzenzace chromatinu uvnit protoplastových jader a následné znovusestavení je spojené se stupn m oxidativního stresu a ú inností antioxidantních systém . Bylo prokázáno, že o-et ení protoplast kyselinou askorbovou snižuje úrove oxidativního stresu, ale také pozitivn stimuje expresi askorbátperoxidázy a katalázy. Také vede k v t-í rekondenzaci chromatinu, v porovnání s neo-et eným protoplastem, a k podpo ení proliferace bu ky (Ond eej *et al.*, 2010). Znovusestavení chromocenter a adekvátní dávka antioxidant mohou znovu spustit vstupení do bun ného cyklu a následnou proliferaci (Ond eej *et al.*, 2009).

4 Praktická část

4.1 Biologický materiál

Arabidopsis thaliana wild type

BAC ó Databáze TAIR. [online]. Dostupné z: www.arabidopsis.org.

Escherichia Coli, název kmenu - DH10B

4.2 P ístroje

Analytické váhy ó HR-120, AND, Japonsko

CCD kamera ó DP 72, Olympus, Japonsko program: CoolSnap, Photometrics

Centrifuga ó Mikro200, Hettich Zentrifugen, N mecko

Centrifuga ó Rotofix 32, Hettich Zentrifugen, N mecko

Digesto ó Merci, R

Flowbox ó AH 100, Telstar, Třpan lsko

Flowbox ó PV 100, Telstar, Třpan lsko

Fluorescen ní mikroskop ó BX 60, Olympus, Japonsko

Fytotron

Horizontální elektroforéza ó AGAGEL STANDARD, Biometra, N mecko

Chlazená centrifuga ó Centrifuge 5804R, Eppendorf, N mecko

Incubátor ó Termostat BT 120, Labo-MS, R

Kamera ó Kodak Edas290, Program Kodak1D, USA, program: Scientific Imaging systems

Ledova ó BF80WS, BarLine. Itálie

Magnetická mícha ka ó MR Hei-Standard, Heidolph, N mecko

Mikroskop reverzní ó CK 40, Olympus, Japonsko

Mikrovlnka ó ETA 3203, R

Minicentrifuga ó MCF2360, LMS, N mecko

Nanodrop ó Nanodrop 1000, ThermoScientific, N mecko

Parní sterilizátor, autokláv ó WiseClave, Vitrum. R

P edváflky ó 572-35, Kern. N mecko

Stolní pH metr ó FE20-Kit, Mettler Toledo, R

Su-árna ó Binder FD53, N mecko

Termocyklér ó TCXP, XP, Bioer, ína

Transluminátor ó Herolab UV, N mecko
Tepa ka ó Vibrax VXR basic, IKA, ína
Varná plotýnka ó SW85, Adamas, Nizozemí
Vodní láze ó 1003, GFL, N mecko
Vortex ó MS2 Minishaker, IKA, ína
Výbojka ó BH2-RFL-T3, Olympus, Japonsko
Zdroj stejnosm rného proudu ó PowerPackBasic, Biorad, N mecko

4.3 Chemikálie a roztoky

Chemikálie

2, 4 ó D, (dichlorfenoxyoctová kyselina), OIChemIm Ltd
2 ó merkaproethanol, Sigma ó Aldrich, GmbH
2 ó propanol, Sigma ó Aldrich, GmbH
agar, Duchefa Biochemie, b.v.
agaróza, Lonza Biotec, s.r.o.
celuláza, Duchefa Biochemie, b.v.
destilovaná voda
dextran sulfát, Sigma ó Aldrich, GmbH
dihydrát citrátu sodného, Lachema, a.s.
dihydrát hydrogenfosfore nanu disodného, Lachema, a.s.
dihydrogenfosfore nan draselný, Lach ó Ner, s.r.o.
ethanol, Lach ó Ner, s.r.o.
extrakt z kvasnic, Duchefa Biochemie, b.v.
formamid, Sigma ó Aldrich, GmbH
glycerol, Sigma ó Aldrich, GmbH
hydroxid sodný, Lach ó Ner, s.r.o.
chloramfenikol, Duchefa Biochemie, b.v.
chlorid draselný. Lachema, a.s.
chlorid sodný, Lach ó Ner, s.r.o.
IAA, (kyselina indol-3-octová), OIChemIm Ltd
iPR (isopentenyladenosin), OIChemIm Ltd
kanamycin, Duchefa Biochemie, b.v.
kyselina boritá, Lachema, a.s.

EDTA (ethylendiamintetraoctová kyselina), Sigma ó Aldrich, GmbH
kyselina chlorovodíková, Lach ó Ner, s.r.o.
kyselina octová, Lach ó Ner, s.r.o.
macerozym, Duchefa Biochemie, b.v.
mannitol, Duchefa Biochemie, b.v.
octan sodný, Sigma ó Aldrich, GmbH
paraformaldehyd, Sigma ó Aldrich, GmbH
sacharóza, Penta, s.r.o.
saponin Sigma ó Aldrich, GmbH
tris (hydroxymethyl) aminomethanu, Sigma ó Aldrich, GmbH
triton Sigma ó Aldrich, GmbH
trypton, Duchefa Biochemie, b.v.
Tween 20 (polyoxyetylen sorbitan monolaurát) ó Serva Electrophoresis GmbH

Roztoky

0,1mol/l HCl (1l)

8,84 ml 35% HCl doplníme destilovanou vodou na 1l.

0,45mol/l mannitol (1l)

81,98 g mannitolu rozpustíme ve 1l destilované vody.

0,45mol/l sacharóza (1l)

154,04 g sacharózy rozpustíme v 1l destilované vody.

0,5% Triton (100 ml)

5 ml 10% tritonu, 0,5 g saponinu, doplnit 1x PBS do 100 ml.

0,5mol/l EDTA (100 ml)

14,6 g EDTA, 100 ml destilované vody a upravíme pH na 8.

0,5x BM (500 ml)

1,1 g MS, 7,5 g sacharózy, 500 ml destilované vody. Vyklávujeme.

BM médium (500 ml)

15 g sacharózy a 2,2 g MS médium (podle Murashige a Skoog 1962) rozpustíme a zvlá-
rozva íme 4 g agaru, doplníme destilovanou vodou na 500 ml.

10x TBE (1 l)

108 g tris a 55 g borité kyseliny, 40 ml 0,5mol/l EDTA (pH 8) a doplníme destilovanou vodou na 1 l.

10x PBS (1 l)

80 g NaCl, 2 g KCl, 2 g KH_2PO_4 a 7,6 g $\text{Na}_2\text{HPO}_4 \cdot 2\text{H}_2\text{O}$ doplníme objem na 1 l. Upravíme pH na 7,5. Na FISH metodu edíme 10x.

20x SSC (1l)

175,3 g NaCl a 88 g $\text{C}_6\text{H}_5\text{Na}_3\text{O}_7 \cdot 2\text{H}_2\text{O}$, doplnit destilovanou vodou na 1 l. Upravíme pH na 7. Na FISH metodu edíme 10x.

3mol/l octan sodný (10 ml)

2,46 g octanu, 10 ml destilované vody.

4% paraformaldehyd (10 ml)

0,4 g paraformaldehydu, 10 ml destilované vody.

5% FBS (10 ml)

9,5 ml 1x PBS, 0,5 ml fetálního bovinního séra.

50% formamid, iontová síla 2x SSC (100 ml)

50 ml formamidu a 10 ml 20x SSC smícháme se 40 ml destilované vody a upravíme pH na 7.

enzymatický roztok (100 ml)

Do PM média 1 g celulózy a 0,25 g macerozymu. P efiltrujeme.

fixáfl ethanol:kyselina octová 3:1 (20 ml)

15 ml 96% ethanolu, 5 ml ledové kyseliny octové.

LB médium (1 l)

10 g tryptonu, 5 g výtafku z kvasnic a 10 g NaCl, a doplníme destilovanou vodou na 1 l. Upravíme pH na 7. Vyklávujeme.

Do 1 l LB média p idáme 50 mg kanamycinu nebo chloramfenikolu.

Master Mix pro FISH, iontová síla 2x SSC (2 ml)

0,4 g dextran sulfátu rozpustíme v 0,8 ml destilované vody, p efiltrujeme. Poté p idáme 200 μl 20x SSC a doplníme destilovanou vodou na 2 ml.

PM médium (1 l)

2 g IAA, 0,5 mg 2,4 ó D a 0,5 mg IPAR rozpustíme v 1 l 0,5x PM médiu.

Ostatní chemikálie:

5x DNA Loading Buffer Blue, Bioline, GmbH

Biotin-Nick translation Mix, Roche Diagnostics, GmbH

Cot DNA, Roche Diagnostics, GmbH

Cy3-IgG Fraction Monoclonal Mouse Anti-Digoxin, Jackson ImmunoResearch Laboratories, Inc.

DAPI, Vector Laboratories, Inc.

DIG-Nick translation Mix, Roche Diagnostics, GmbH

DOP primery 1 ó 3, Generi Biotech, s.r.o.

DOP1: CCGACTCGAGNNNNNCTAGAA

DOP2: CCGACTCGAGNNNNNTAGGAG

DOP3: CCGACTCGAGNNNNNTTCTAG

Extravidin, Roche Diagnostics, GmbH

Gel Red, Biotinum, Inc.

PCR Master Mix, Roche Diagnostics, GmbH

PhasePrepTM BAC DNA Kit, Sigma ó Aldrich, GmbH

standard molekulové hmotnosti DNA, BioSystems, a. s., 100 bp DNA ladder

4.4 Metody

Chromozóm 2 *Arabidopsis thaliana* p evedený do BAC knihovny se skládal ze ty set BAC klon tzv. plat . Každý plate byl tedy sestavený z 96 BAC klon . Ty byly rozd leny do osmi skupin ozna ených A-H po 12 klonech.

4.4.1 Množení bakterií

Z jednotlivých BAC klon se odebralo 30 µl zvlá– do kultiva ních desti ek s 2 ml LB média s antibiotiky.

Desti ky s napipetovanými BAC klony se p enesly na t epa ku a vlořily do inkuba ní komory a nechaly se mnořit p i 37 °C p es noc (asi 8 hodin). Po inkubaci se pozorováním zákalu zjistilo, jestli se bakterie rozmnořily. Do mikrozkušavek se poté odebralo po 1 ml bakteriální suspenze z jednotlivých jamek. Zbylá suspenze se dala zamrazit.

4.4.2 Izolace DNA

Odebraný 1 ml bakteriální suspenze v mikrozkušavky se poté sto il 6 minut p i 5000 rpm. Supernatant se vylil. Pelet se resuspendoval v 250 µl resuspenda ním roztoku a napipetoval se do mikrozkušavky.

Dále se p idalo 250 µl lytického roztoku a ihned se promíchal p evracením zkušavky. Lyzovalo se po dobu 4 minut a poté se p idalo 250 µl neutraliza ního roztoku. P ekláp ním byl roztok ihned promíchán.

Centrifugovalo se 5 minut p i 14 000 rpm a 4 °C. Supernatant se poté p epipetoval do nové mikrozkušavky.

Poté se p idalo 450 µl 2-propanolu a znovu se centrifugovalo 25 minut p i 14 000 rpm a 4 °C. Po sto ení se odpipetoval supernatant a p idalo se 100 µl 70% ethanolu. Centrifugovalo se 5 minut p i stejných otá kách a teplot . Odpipetoval se supernatant a mikrozkušavky se nechaly oschnout na papí e. Poté se DNA rozpustila v 50-150 µl dH₂O. Na nanodropu se dále zm ěnila koncentrace jednotlivých produkt , aby se ov ěřila úspěšnost izolace. Dále se provedla agarózová elektroforéza pro zji-t ní kvality izolace.

4.4.3 DOP PCR

Pro vytvoření průb je nezbytné zmnofení segment DNA. K tomuto účelu byla použita metoda DOP PCR (degenerate oligonucleotide-primed PCR). Připravil se premix, který se vložil do cykléru.

Slofení PCR premixu:

- 10,5 μ l dH₂O
- 12,5 μ l PCR Mastermix
- 1 μ l DNA (200 ng) na edné
- 1 μ l Primery

Celkový objem 25 μ l

časový a teplotní profil PCR reakce byl následující:

- 1x 95 °C po átek denaturace
- 35x 95 °C denaturace
- 43 °C nasedání primeru (annealing)
- 72 °C prodluřování primer (extension)
- 1x 72 °C finální prodluřování (extension)

Poté se na nanodropu zm ěřila koncentrace PCR produktu pro další ední.

4.4.4 Nick-Translace

Pro Nick-translaci se z edila DNA tak, abychom v 16 μ l měli mnofství p ěblifn 2000 ng DNA. Výsledná koncentrace byla 62,5 ng/ μ l.

K 16 μ l z edné DNA byly přidáno 4 μ l DIG Nick translation Mixu. Mikrozkuřavky se vložily do cykléru na 85 minut při 15 °C. Reakce se zastavila přidáním 1 μ l EDTA a op t se vložily do cykléru na 10 minut při 65 °C. Mikrozkuřavky se poté daly na 5 minut na led inkubovat.

Velikost průb se ov ěřila na elektroforéze. Z 21 μ l byly použity 3 μ l na elektroforézu. Zbýlých 18 μ l bylo převedeno do formamidu.

4.4.5 P evedení průby do formamidu

Po odebrání 3 μ l z 21 μ l zna ěné průby o 2000 ng DNA jsme dostali 18 μ l, to znamená, že mnofství DNA je 1700 ng.

K 18 μl znaené próby se p idalo 2 μl 3mol/l octanu sodného (10 % p vodního objemu, výsledná koncentrace byla pak 0,3 M) Pro inhibici repetice se poufíla 2 μl Cot DNA. Dále se p idalo 36 μl 96% ethanolu pro UV (dvojnásobné množství p vodního objemu). Inkubovalo se 30 minut v -20°C a následn se centrifugovalo 30 minut p i 4°C a 13 000 rpm. Supernatant se odpipetoval a mikroskopovky s próbami se nechaly oschnout na papí e.

Dále se próby p evedly do formamidu, tak aby výsledná koncentrace byla 40 ng/ μl . Pokud tedy bylo p vodní množství 1700 ng DNA próby, rozpustilo se v 42,5 μl formamidu.

4.4.6 Denaturace sondy

Na 1 sklí ko na FISH bylo pot eba nanést množství sondy mezi 100-200 ng. Naneslo se množství 10 μl roztoku, kdy polovinu tvo í Master Mix (5 μl) a dalších 5 μl sondy ve formamidu (40 ng \times 5 = 200 ng). V cykléru se denaturovala 10 minut p i 80°C a pak se ihned umístila na led, aby próby z staly v denaturovaném stavu.

4.4.7 Elektroforéza

Naváfílo se 0,8 g agarózy, která se rozpustila v TBE pufru na 80 ml, aby vznikl 1% roztok agarózy. Roztok v kádince jsme rozva íli v mikrovlnné troub . Nechali jsme mírn zchladit a p idali jsme 3,2 μl GelRed.

Do vany ky se zasunul h ebínek a byl do ní nalit roztok. Gel se nechal ztuhnout a opatrn se vyjmul h ebínek. Do vany ky se nalil TBE pufr tak, aby byly pono eny jamky a gel byl je-t asi 1 cm pod hladinou.

Poté se p ipravili vzorky pro naná-ení a standard molekulové hmotnosti. Do jamek se pipetovalo od každého vzorku 6 μl sm í.

Elektroforéza probíhala 45 minut p i 110 V. Bromfenolová mod doputovala p íblífn do 2/3 své dráhy. Fotografie gelu zviditeln ného UV transiluminátorem a se po ídila pomocí programu Kodak1D.

4.4.8 Sterilizace semen *Arabidopsis*

Pracovalo se ve flowboxu. K semínk m v mikroskopovce se p ipipetoval 1 ml 70% ethanolu. Následn se s mikroskopovkou 2 minuty prot epávalo a dala se na 2 minuty zcentrifugovat p i 3000 rpm. Slil se supernatant, p idal se 1 ml 0,8% NaOCl a 8 minut se op t prot epávalo. Op t se centrifugovalo, slil se supernatant a p idala se sterilní voda. Op t se centrifugovalo

a odpipetovala se voda, ve vodě se promývalo 2-5x. Semínka se přenesla do Petriho misky na filtrační papír a nechala se vyschnout.

4.4.9 Vysazení semínek

Do Petriho misek se nalilo BM médium a nechalo se zatuhnout. Poté byla laboratorní jehlou nasazena semínka na médium. Petriho misky se zajistily parafilmem a semínka se nechala kultivovat ve fytotronu (den 16 hodin při 24 °C/ noc 8 hodin 20±2 °C).

4.4.10 Izolace protoplast

První den izolace se napipetovalo do Petriho misek asi 5 ml enzymatického roztoku. Poté se natrhaly lístky *Arabidopsisu* a umístily se do roztoku. Skalpelem se lístky rozězaly na malé kousky, aby se protoplasty uvolnily do roztoku a nechaly se inkubovat přes noc v termoboxu při 26 °C.

Druhý den se s Petriho miskami lehce zakrouffilo a 30 minut je-t probíhala inkubace, během ní se lehce protěpávaly. Protoplastová suspenze se dále přecedila přes jemné síto do nové Petriho misky. Roztok se přepipetoval do zkumavky a centrifugoval se při 500 rpm 5 minut. Převrstvil se 0,45 mol/l mannitolem a opět se dal zcentrifugovat. Protoplasty se spolu s mannitolem přepipetovaly do nové zkumavky, opět se převrstvily mannitolem a stouhly. Nakonec se protoplasty se přepipetovaly do mikrozukavky.

K protoplastům se připipetovalo 0,5 ml 4% paraformaldehydu. Inkubovaly se při pokojové teplotě 5-8 minut a následně se centrifugovaly 3 minuty při 500 rpm. Odpipetoval se paraformaldehyd a přidal se 1 ml PBS a znovu se stouhlo. Poté, co se odpipetoval PBS se přidala fixační roztok a inkubovalo se po dobu 10 minut.

Asi 200 µl protoplastové suspenze se přeneslo na jednotlivé vymražené podložní sklíčka. Sklíčka se nechala oschnout v digestoři.

4.4.11 FISH metoda

Následovalo proplachování ve vyvíjecích komůrkách. První se 1 minutu nechala inkubovat v 0,1 mol/l HCl, dále 10 minut v Tritonu a 3x po 5 minutách v 1x PBS. Dalším krokem bylo promývání v 50% formamidu po dobu 30 minut. Na osušená sklíčka se napipetovalo po 10 µl denaturované sondy. Zakrylo se krycím sklíčkem, které se oblepilo lepidlem. Sklíčka se dala vyvíjet na varnou ploténku na 1,5 minuty při 78 °C.

Skří ka se vlořila do Petriho misky s navlh eným papírem a dala se inkubovat p es noc do termoboxu p i 37 °C.

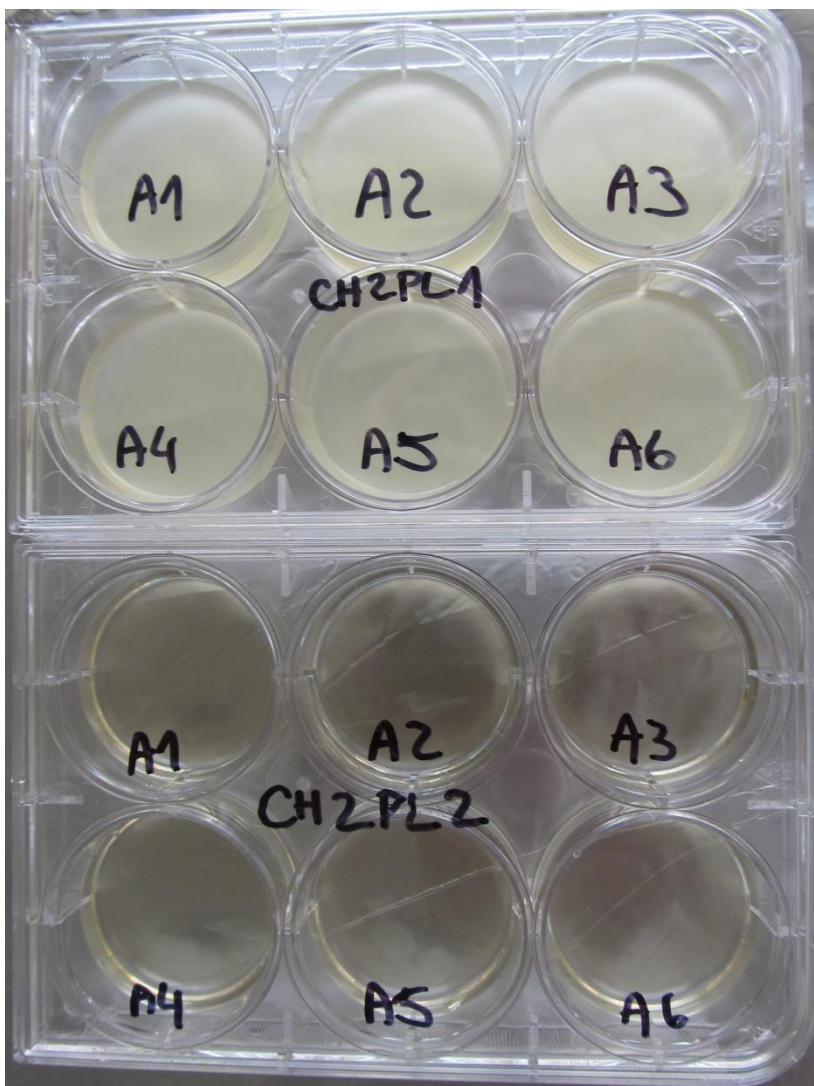
Následn se z preparát se odstranila krycí sklí ka. Do vyvíjecí nádobky s 2xSSC, umíst né ve vodní lázni p edeh áté na 45 °C, se vlořila na 5 minut a je-t jednou se opakovalo. Na osu-ená sklí ka se napipetovalo na kařdé 200 μ l 5% FBS, p ikrylo se parafilmem a inkuboval se 30 minut. Poté se sundal parafilm, FBS se nechalo stéct a napipetovalo se 100 μ l 5% FBS s protilátkou (1 μ l na 100 μ FBS). Op t se p ikrylo parafilmem a nechalo se inkubovat ve tm , aby se protilátka nevysvítla.

Po inkubaci se sklí ka namá ela 5 minut v 2xSSC a je-t jednou se zopakovalo v novém 2xSSC. Poté se opláchla v 1xPBS a osu-ila. Nakonec se na sklí ka napipetovalo po 2 μ l DAPI ve Vectashieldu, p ikryla se krycím sklí kem a byla zkoumána pod mikroskopem.

5 Výsledky

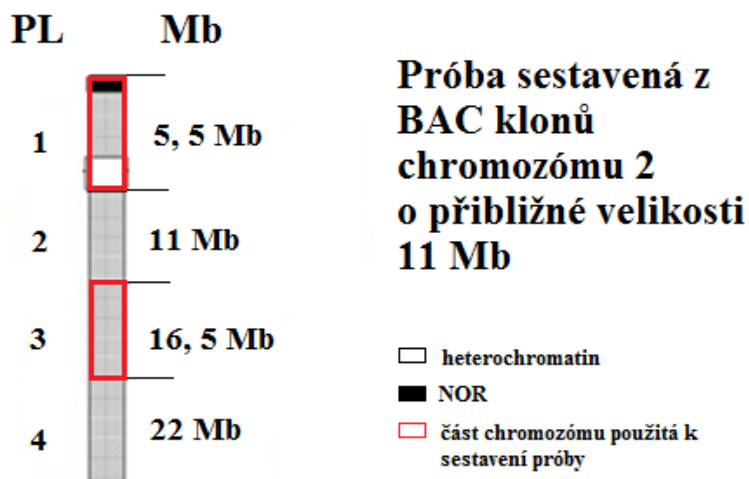
Chromozóm 2 je sestaven ze 4 částí, takzvaných plat klon po 96 jamkách. Bakteriální um lý chromozóm byl objednán z databáze TAIR dostupné na Arabidopsis.org.

V antibioticích se rozmnožovaly pouze bakteriální vektory z platu 1 a 3. Plate 1 byl namnožen v kanamycinu a plate 3 ve chloramfenikolu vřdy o koncentraci 50 mg/l LB média. Platy 2 a 4 se v antibioticích nemnožily, jak m ěme pozorovat na obr. . 7. Na destičce platu 1 vidíme z etelný zákal zna ící, že se bakterie rozmnožily. Zatímco na destičce platu 2 není viditelný zákal, je z ejmé, že k namnožení bakterií v antibiotiku nedo-šlo.



Obr. . 7 - Destičky porovnávající bakteriálními suspenze rozmnožených platu 1 a nerozmnožených klon platu 2.

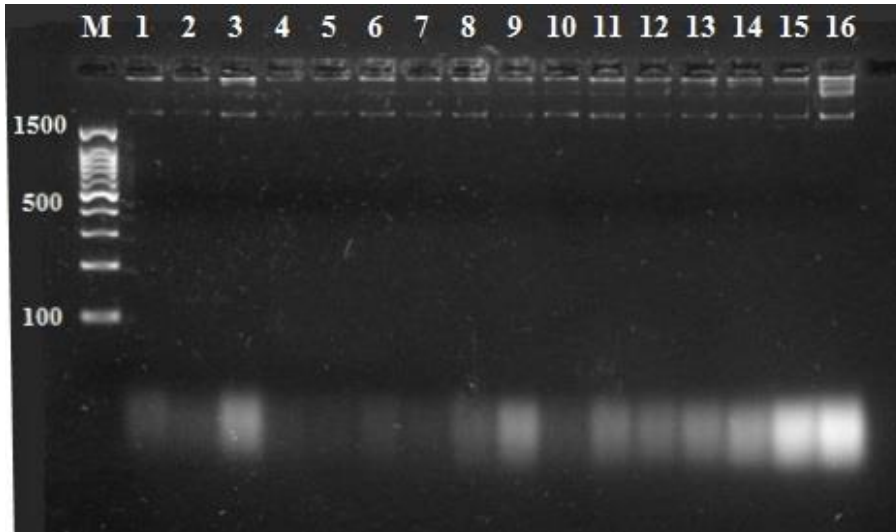
Protože se bakteriální klony v platkách 2 a 4 nerozmnožovaly v antibioticích, musely být ze sestavování sondy vynechány. Při množení bez antibiotik by nebylo prokazatelné, že vektory, které používáme na hybridizaci, mají naligovaný inzert. Průběh byl sestaven pouze z plat 1 a 3 viz obr. 8 o přibližné délce 11 Mb.



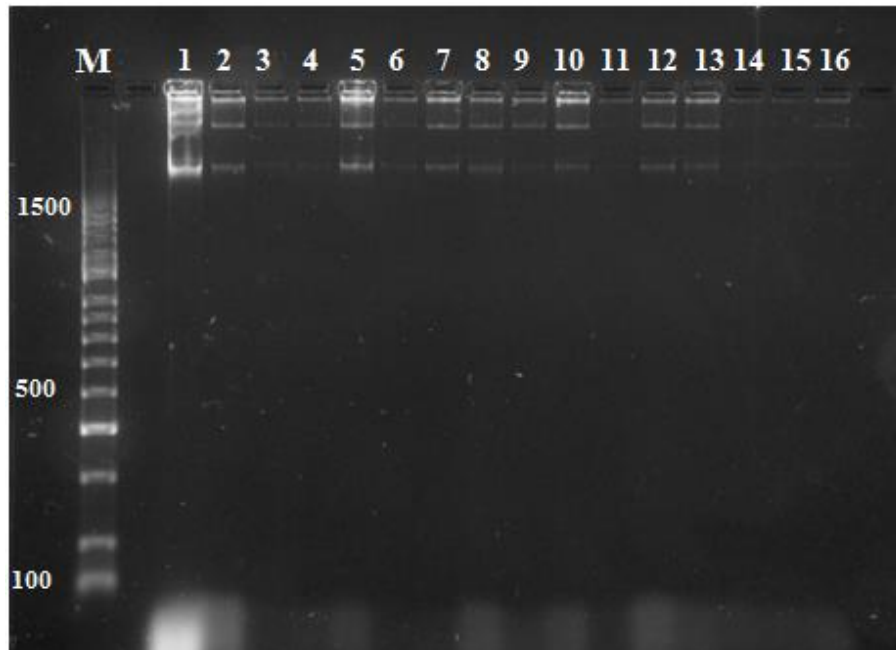
Obr. 8 - Schématické znázornění sestavení průběhu chromozómu 2 *Arabidopsis thaliana* z rozmnožených set BAC klonů.

Z bakteriální suspenze z rozmnožených plat 1 a 3 jsme vyizolovali DNA. Koncentraci DNA jsme poté změřili na nanodropu, abychom poté mohli zedit DNA na DOP PCR. Na DOP PCR bylo potřeba na edit DNA přibližně na koncentraci 200 ng/ μ l.

Po izolaci DNA jsme provedli kontrolní agarózovou elektroforézu zvlášť pro plate 1 a pro plate 3. Na elektroforetogramech na obr. 9 a 10 můžeme pozorovat, že izolace z bakteriální suspenze proběhla úspěšně u každého klonu.



Obr. . 9 - Elektroforetogram DNA izolované z bakteriální suspenze z platu 1 v 1% agarózovém gelu



Obr. . 10 - Elektroforetogram DNA izolované z bakteriální suspenze z platu 3 v 1% agarózovém gelu

Legenda:

M: standard molekulové hmotnosti DNA ó BioSystems, a.s., 100 bp DNA ladder

1-16: vzorky DNA

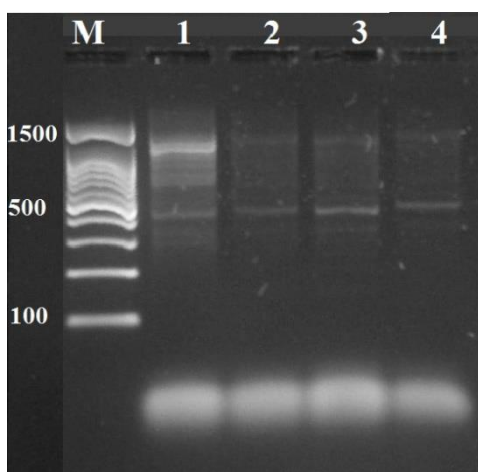
Podmínky elektroforézy:

1 % AGSA/TBE, barveno GelRed ó 4 l/100 ml gelu

vzorek: 2 l vzorku DNA + 3 µl H₂O + 1 l BFM, do jamky 6 l

poufíté nap tí 110 V

Pro DOP PCR bylo potřeba optimalizovat annealing teplotu, kdy se optimální teplota pohybovala okolo 45°C. Reakci jsme nechali probíhat při 43, 44, 46 a 47°C annealing teplotách a účinnost jsme ověřili agarózovou elektroforézou. K nejvyšší účinnosti reakce došlo při annealing teplotě 43°C. Na obr. 11 v jamce 1 je nanesen PCR produkt množený při annealing teplotě 43°C, došlo zde k nejvyššímu zmožnění fragmentů DNA. Délky fragmentů se pohybují kolem 200 až 1600 bp.



Obr. 11 - Elektroforetogram DOP PCR produktu, ověření optimální annealing teploty pro DOP PCR reakci v 1% agarózovém gelu

Legenda:

M: standard molekulové hmotnosti DNA od BioSystems, a.s., 100 bp DNA ladder

1-4: vzorky DNA, jamka 1: 43°C, 2: 44°C, 3: 46°C, 4: 47°C

Podmínky elektroforézy:

1 % AGSA/TBE, barveno GelRed od 4 µl/100 ml gelu

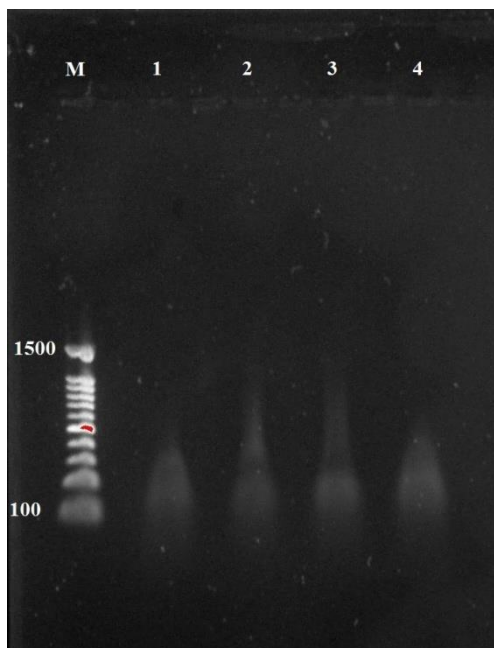
vzorek: 3 µl vzorku DNA + 2 µl H₂O + 1 µl BFM, do jamky 6 µl

použití napětí 110 V

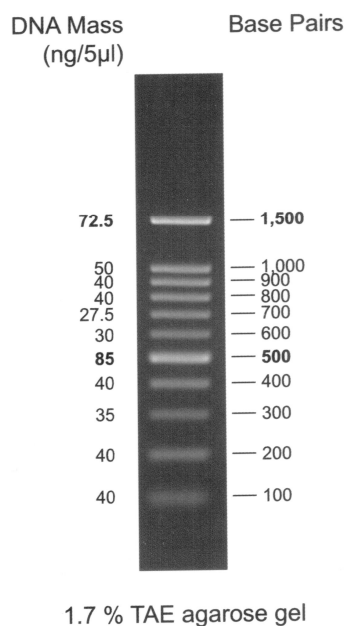
Provedli jsme amplifikaci DNA pomocí DOP PCR. Koncentraci próby po DOP PCR jsme poté změnilí na nanodropu, abychom mohli DNA zedit na Nick translaci.

Pro Nick translaci je optimální koncentrace 62,5 ng/µl, abychom v 16 µl měli množství přibližně 2000 ng DNA.

K 16 μl z edné DNA byly přidáno 4 μl DIG Nick translation Mixu. Poté jsme Nick translaci naznačili pomocí digoxigeninu. Při Nick translaci dává DNáza do vlákna DNA záhy náhodně a vytváří se tak fragmenty o různé délce. U jamky 3 a 4 vidíme пробу sestavenou z platí 1 a 3 naznačenou DIGem.



Obr. 12 - Elektroforetogram z DNA próby po značení DIGem v Nick translaci v 1% agarózovém gelu



Obr. 13 - Použitý standard molekulové hmotnosti DNA, BioSystems, a.s., 100 bp DNA ladder

Legenda:

M: standard molekulové hmotnosti DNA o BioSystems, a.s., 100 bp DNA ladder

1-4: vzorky DNA, 3 a 4: vzorky prób značené DIGem

Podmínky elektroforézy:

1 % AGSA/TBE, barveno GelRed o 4 μl /100 ml gelu

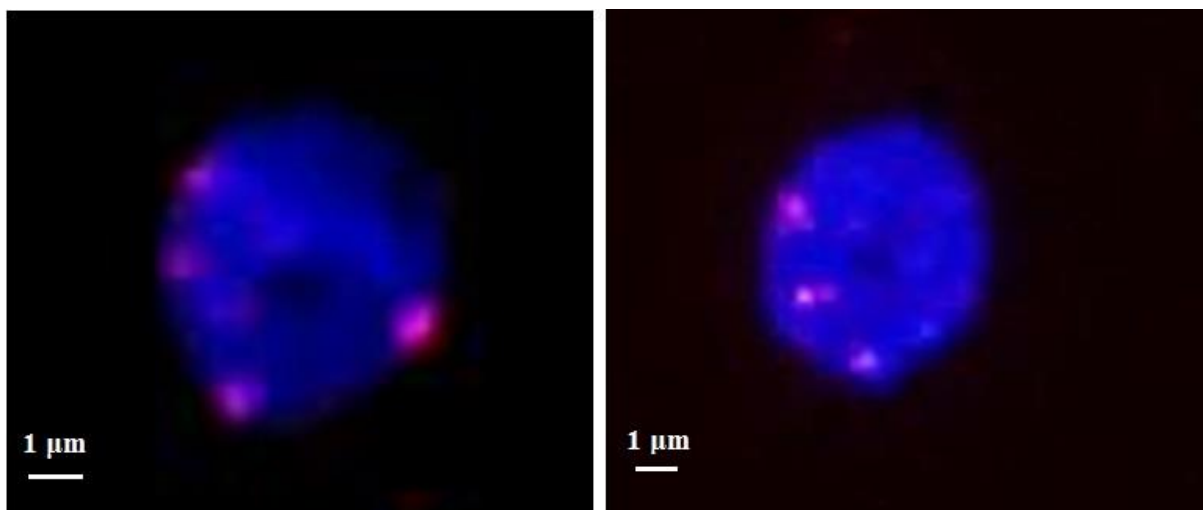
vzorek: 3 μl vzorku DNA + 2 μl H₂O + 1 μl BFM, do jamky 6 μl

použití napětí 110 V

Celkové množství DNA ve 21 μl bylo okolo 2000 ng. Odebrali jsme 3 μl na elektroforézu. Zbylo nám tedy asi 1700 ng DNA v 18 μl . Dále se próby provedly do formamidu, tak aby

výsledná koncentrace DNA byla 40 ng/ μ l. Pokud bylo tedy p vodní množství DNA kolem 1700 ng, próba se rozpustila ve 42,5 μ l formamidu.

Próby p evedené do formamidu se nahybridizovaly na sklí ka s vyizolovanými protoplasty. Poté probíhala inkubace s 1 μ l anti-Digoxinu. Nakonec jsme napipetovali 1,5 μ l DAPI, p ikryli jsme krycím sklí kem a pozorovali jsme pod fluorescen ním mikroskopem.



Obr. . 14 - Interfázní jádra protoplastu *Arabidopsis thaliana* zna ená DAPI a monoklonální my-í protilátkou anti-Digoxin konjugovanou s Cy3. Hybridizace 5, 5 Mb úseku p raménka chromozómu 2 získaného izolací BAC klon z platu 1.

6 Diskuze

Protoplastové kultury jsou pozoruhodným příkladem dediferenciace rostlinné buňky. Během dediferenciace protoplast dochází ke změnám v genomové organizaci. Nejvýraznější změnou je rozsáhlá chromatinová dekondezace.

Heterochromatinová dekondezace u protoplast *Arabidopsis thaliana* je doprovázená strukturální relaxací centromerických, pericentromerických a 5S rDNA repetitivních sekvencí, stejně jako transpozónů umístěných v chromocentrech (Ondřej et al. 2010). Dediferenciace je charakterizována novou rovnováhou mezi méně kondenzovanou částí genomu a kondenzovaným heterochromatinem, jehož transkripce je omezena.

Pro vizualizaci chromozómů, v interfázním jádře protoplast *A. thaliana*, jsme sestavili próbu z poloviny setu BAC klonů. Z druhé poloviny setu se vzhledem k jejich kvalitě nepodařilo vyizolovat dostatečné množství BAC. Ani po druhém objednání setu BAC klonů, dodaných databází TAIR, se polovina bakteriálních klonů nemnohdy v médiu s antibiotiky. Z tohoto důvodu se nezdařila konstrukce celochromozómové sondy pro chromozóm 2.

Celochromozómovou próbu z BAC klonů pro chromozóm 2 úspěšně sestavil Lysák 2003, avšak pro konstrukci sondy použil bakteriální klony z databáze IGF a TAMU.

Próbu sestavenou z poloviny setu BAC klonů, jsme následně hybridizovali na zafixované protoplasty *A. thaliana*. K hybridizaci však došlo pouze u čtvrtiny chromozómu, konkrétně u BAC izolovaných z platu 1. Hybridizovala oblast horního raménka chromozómu 2, která má vysokou hustotu repetitivních sekvencí. Pod fluorescenčním mikroskopem jsme sledovali 4 poměrně slabé signály. V této plocha hybridizovaných signálů byla nejspíše způsobena dekondezovaným stavem chromatinu. V daném stádiu vývoje protoplastu je dekondezovaný stav chromatinu typický a je spojený s reprogramováním genomové organizace protoplastu. Vzhledem k diploidnímu stavu *A. thaliana* bychom však očekávali pouze dva signály. Pozorované 4 signály znamenají, že próba musela hybridizovat nespecificky.

Je možné, že oblast organizátoru jadérka chromozómu 2 mohla nespecificky hybridizovat s NOR oblastí chromozómu 4. Lysák 2003 z tohoto důvodu vyadil při konstrukci celochromozómové próby specifické BAC klony z pericentromerických a NOR oblastí.

Chromozómy *Arabidopsis thaliana* je možné vizualizovat celochromozómovými sondami, protože se u nich nevyskytuje velké množství rozptýlených repetitivních sekvencí. Také u jiných rostlin s malými genomy byly touto metodou úspěšně vizualizovány chromozómy (Dong *et al.*, 2000; Song *et al.*, 2000). Sonda se dále využívá k analýzám evolučního vývoje karyotypu příbuzných druhů.

S využitím konstrukce celochromozómové sondy z bakteriálních klonů bude v budoucnu možné studovat organizaci genomu během vývoje rostliny. Po dostatečné optimalizaci metody by mohly být sledovány chromatinové modifikace, jako methylace DNA nebo histonové modifikace. Změny v organizaci chromatinu by mohly být poté studovány v souvislosti s replikací a transkripčními procesy u jednotlivých chromozómových teritorií. (Lysak *et al.*, 2001).

7 Závěr

Z BAC klonů z databáze TAIR nebylo, vzhledem k jejich kvalitě, možné vyizolovat dostatečné množství BAC pro sestavení celochromozómové próby chromozómu 2. V antibioticích se množila pouze polovina bakteriálních vektorů. Podařilo se vyizolovat 2 platy, ale hybridizoval pouze jeden. Tímto způsobem byla vizualizována čtvrtina chromozómu získaná z platy 1. Výsledný signál nahybridizované próby byly 4 naznačené oblasti. Signály byly velmi slabé, kdy se patrně jednalo o důsledek dekondezace chromatinu protoplastů. Mohlo by také jít o špatný postup při konstrukci próby nebo nedostatečně optimalizované metody FISH, která nevycházela vždy.

8 Seznam zkratek a pojm

AGSA - agaróza

BAC ó bakteriální um lý chromozóm

BFM ó bromfenolová mod

Clustery ó shluky

DAPI ó 4',6-diamidin-2-fenylindol

DIG ó digoxigenin

FISH ó fluorescen ní *in situ* hybridizace

HMG ó skupina vysoké pohyblivosti

Intermingling ó promíchávání

ICD model ó interchromozomální doména

IC-CT model ó chromozomální teritorium-interchromatinové domény

ICN model ó interchromatinová sí

Loop - smy ka

MS - Murashi a Skoog médium

NOR ó organizátor jadérka

Rekalcitrance - neschopnost diferenciac

Ridges ó oblasti zvý-ené genové exprese

ROS ó reaktivní kyslíkové radikály

TBE ó Tris borátový pufr

9 Zdroje

Alberts, B., Bray, B., Johnson, A., Lewis, J., Raff, M., Roberts, K. and Walter, P. (2005): Základy bun ěné biologie ó Úvod do molekulární biologie bu ky. Espero Publishing. Ústí nad Labem. 740s.

Asakawa, S., Abe, I., Kudoh, Y., Kishi, N., Wang, Y., Kubota, R., Kudoh, J., Kawasaki, K., Minoshima, S., *et* Shimizu, N. (1997): Human BAC library: construction and rapid screening. *Gene* 191: 69±79.

Avramova, Z. J. (2002): Heterochromatin in animals and plants. Similarities and differences. *Plant Physiology* 129: 40649.

Berr, A., Schubert, I. (2007): Interphase chromosome arrangement in *Arabidopsis thaliana* is similar in differentiated and meristematic tissues and shows a transient mirror symmetry after nuclear division. *Genetics* 176 : 853-863.

Bode, J., Goetze, S., Heng, H., Krawetz, S. A., Benham, C. (2003): From DNA structure to gene expression: mediators of nuclear compartmentalization and dynamics. *Chromosome Research* 11: 435645.

Bolzer, A., Kreth, G., Solovei, I., Koehler, D., Saracoglu, K., Fauth, C., Müller, S., Eils, R., Cremer, C., Speicher, M. R., Cremer, T. (2005): Threedimensional maps of all chromosomes in human male fibroblast nuclei and prometaphase rosettes. *PLoS Biology* 3: 157.

Boyko, A., Kovalchuk, I. (2013): Epigenetic regulation of genome stability in plants in Response to stress. In: Grafi, G., Ohad, N. Epigenetic memory and control in plants 41-56, Springer, Heidelberg.

Boyle, S., Gilchrist, S., Bridger, J. M., Mahy, N. L., Ellis, J. A., Bickmore, W. A. (2001): The spatial organization of human chromosomes within the nuclei of normal and emerin-mutant cells. *Human Molecular Genetics* 10: 21169.

Branco, M. R., Pombo, A. (2006): Intermingling of chromosome territories in interphase suggests role in translocations and transcription-dependent associations. *PLoS Biology* 4: 138.

Bridger, J. M., Boyle, S., Kill I. R., Bickmore, W. A. (2000): Re-modelling of nuclear architecture in quiescent and senescent human fibroblasts. *Current Biology* 10: 149652.

Caron, H., van Schaik, B., van der Mee, M., Baas, F., Riggins, G., van Sluis, P., Hermus, M. C., van Asperen, R., Boon, K., Voute, P. A., Heisterkamp, S., van Kampen, A., *et* Versteeg, R. (2001): The human transcriptome map: clustering of highly expressed genes in chromosomal domains. *Science* 291: 128961292.

Cremer, T., Cremer, C. (2001): Chromosome territories, nuclear architecture and gene regulation in mammalian cells. *Nature Review Genetics* 2: 2926301.

Cremer, T., Cremer, M. (2010): Chromosome territories. *Cold Spring Harbor perspectives in biology*, 2: a003889.

Cremer, T., Kurz, A., Zirbel, R., Dietzel, S., Rinke, B., Schrock, E., Speicher, M. R., Mathieu, U., Jauch, A., Emmerich, P., Scherthan, H., Ried, T., Cremer, C., *et* Lichter, P. (1993): Role of chromosome territories in the functional compartmentalization of the cell nucleus. *Cold Spring Harbor Symposia on Quantitative Biology* 58: 7776792.

Databáze TAIR. The Arabidopsis Information Resource [online]. [Cit. 8. 5. 2014] Dostupné z: www.arabidopsis.org.

Debeaujon, I., Branchard, M. (1992): Induction of somatic embryogenesis and callogenesis from cotyledons and leaf protoplasts derived colonies of melon (*Cucumis melo* L.). *Plant Cell Reports* 12: 37640.

Dietzel, S., Zolghadr, K., Hepperger, C., Belmont, A. S. (2004): Differential largescale chromatin compaction and intranuclear positioning of transcribed versus non-transcribed transgene arrays containing beta-globin regulatory sequences. *Journal of Cell Science* 117: 4603614.

Dimitri, P., Corradini, N., Rossi, F., Verni, F. (2005): The paradox of functional heterochromatin. *Bioessays* 27: 29641.

- Dunham, I., Shimizu, N., Roe, B. A., *et* Chissoe S. (1999): The DNA sequence of human chromosome 22. *Nature* 402: 489±95.
- Exner, V, Hennig, L. (2008): Chromatin rearrangements in development. *Current Opinion in Plant Biology* 11: 64669.
- Fransz, P., Armstrong, S., Alonso-Blanco, C., Fischer, T. C., Torres-Ruiz, R. A., Jones, G. (1998): Cytogenetics for the model plant *Arabidopsis thaliana*. *Plant Journal*. 13: 8676876.
- Fransz, P. F., Armstrong, S., De Jong, J. H., Parnell, L. D., Van Drunen, C., Dean, C., Zabel, P., Bissing, T., Jones, G. H. (2000): Integrated cytogenetic map of chromosome arm 4S of *A. thaliana*: structural organization of heterochromatic knob and centromere region. *Cell*, 100: 3676376.
- Fransz, P., de Jong, J. H., Lysak, M. A., Ruffini-Castiglione, M, Schubert, I. (2002): Interphase chromosomes in *Arabidopsis* are organized as well defined chromocenters from which euchromatin loops emanate. *Proceedings of the National Academy of Sciences USA* 99: 14584614589.
- Fransz, P., ten Hoopen, R. *et* Tessadori, F. (2006): Composition and formation of heterochromatin in *Arabidopsis thaliana*. *Chromosome Research* 14: 71-82.
- Fuchs, J., Kloos, D. U., Ganai, M. W., Schubert, I. (1996): *In situ* localization of yeast artificial chromosome sequences on tomato and potato metaphase chromosomes. *Chromosome Research* 4: 2776281.
- Garcia-Fernandez, J. (2005): The genesis and evolution of homeobox gene clusters. *Nature Review Genetics* 6: 8816892.
- Gierman, H. J., Indemans, M. H. G., Koster, J., Goetze, S., Seppen, J., Geerts, D., van Driel, R., *et* Versteeg, R. (2007): Domain-wide regulation of gene expression in the human genome. *Genome Research* 17: 128661295.

Gilbert, N., Boyle, S., Fiegler, H., Woodfine, K., Carter, N. P., Bickmore, W. A. (2004): Chromatin architecture of the human genome: gene-rich domains are enriched in open chromatin fibers. *Cell* 118: 555-666.

Goetze, S., Mateos-Langerak, J., Gierman, H. J., de Leeuw, W., Giromus, O., Indemans, M. H. G., Koster, J., Ondrej, V., Versteeg, R., van Driel, R. (2007a): The 3D structure of human interphase chromosome is related to the transcriptome map. *Molecular and Cellular Biology*, 27: 4475-4487.

Goetze, S., Mateos-Langerak, J., *et* van Driel, R. (2007b): Three-dimensional genome organization in interphase and its relation to genome function. In *Seminars in cell & developmental biology* 18: 707-714.

Grafi, G. (2004): How cells dedifferentiate: a lesson from plants. *Developmental Biology* 268: 166.

Grafi, G. (2009): The complexity of cellular dedifferentiation: implications for regenerative medicine. *Trends in Biotechnology* 27: 329-332.

Green, E. D., Riethman, H. C., Dutchik, J. E., *et* Olson, M. V. (1991): Detection and characterization of chimeric yeast artificial chromosome clones. *Genomics* 11: 658-669.

Heng, H. H., Goetze, S., Christine, J. Y., Liu, G., Stevens, J. B., Bremer, Wykes S. M., Bode J., *et* Krawetz, S. A. (2004): Chromatin loops are selectively anchored using scaffold/matrix-attachment regions. *Journal of Cell Sciences* 117: 999-1008.

Chambeyron, S., Da Silva, N. R., Lawson, K. A., *et* W. A. Bickmore. (2005): Nuclear re-organisation of the Hoxb complex during mouse embryonic development. *Development* 132: 2215-2223.

Jiang, F., Zhu, J., *et* Liu, H. L. (2013): Protoplasts: a useful research system for plant cell biology, especially dedifferentiation. *Protoplasma*, 250: 1231-1238.

Katagiri, T., Asakawa, S., Minagawa, S., Shimizu, N., Hirono, I., *et* Aoki, T. (2001): Construction and characterization of BAC libraries for three fish species; rainbow trout, carp and tilapia. *Animal Genetics*, 32: 200-204.

Kitada, T., Asakawa, S., Hattori, N., Matsumine, H., Yamamura, Y., Minoshima S., Yokochi M., Mizuno, Y., *et* Shimizu N. (1998): Mutations in the parkin gene cause autosomal recessive juvenile parkinsonism. *Nature* 392: 605±8.

Ko árek, E. (2007): Molekulární biologie v medicín . 1. vyd. Brno: Národní centrum o-et ovatelství a neléka ských zdravotnických obor v Brn , 218 s.

Kouprina, N., Eldarov, M., Moyzis, R., Resnick, M., *et* Larionov, V. (1994): A model system to assess the integrity of mammalian YACs during transformation and propagation in yeast. *Genomics* 21: 7617.

Larionov, V., Kouprina, N., Nikolaishvili, N., *et* Resnick, M. A. (1994): Recombination during transformation as a source of chimeric mammalian artificial chromosomes in yeast (YACs). *Nucleic Acids Research* 22: 415464162.

Lin, X., Kaul, S., Rounsley, S., Shea, T. P., Benito, M. I., Town, C. D., Fujii, C. Y., Mason, T., Bowman, C. L., Barnstead, M., Feldblyum, T. V., Buell, C. R., Ketchum, K. A., Lee, J., Ronning, C. M., Koo, H. L., Moffat, K. S., Cronin, L. A., Shen, M., Pai, G., Van Aken, S., Umayam, L., Tallon, L. J., Gill, J. E., Adams, M. D., Carrera, A. J., Creasy, T. H., Goodman, H. M., Somerville, C. R., Copenhaver, G. P., Preuss, D., Nierman, W. C., White, O., Eisen, J. A., Salzberg, S. L., Fraser, C. M., Venter, J. C. (1999): Sequence and analysis of chromosome 2 of the plant *Arabidopsis thaliana*. *Nature*. 402: 761-8.

Lysak, M. A., Fransz, P. F., Ali, H. B., Schubert, I. (2001): Chromosome painting in *Arabidopsis thaliana*. *The Plant Journal*, 28: 689-697.

Lysak, M. A., Pecinka, A., Schubert, I. (2003): Recent progress in chromosome painting of *Arabidopsis* and related species. *Chromosome Research*, 11: 195-204.

Misteli, T. (2008): Chromosome territories: The arrangement of chromosomes in the nucleus. *Nature Education* 1: 167.

Meinke, D. W., Cherry, J. M., Dean, C., Rounsley, S. D. & Koornneef, M. (1998): *Arabidopsis thaliana*: a model plant for genome analysis. *Science* 282: 662±665.

Navrátilová, B., Greplová, M., Vyvadilová, M., Klíma, M., Gajdová, J., Skálová, D. (2006): Electrofusion of protoplasts in selected vegetables of *Brassica*, *Cucumis*, and *Solanum* genera. *Acta Horticulturae* 725: 8016805.

Ondřej, V., Kitner, M., Doleřalová, I., Nádvorník, P., Navrátilová, B., Lebeda, A. (2009): Chromatin structural rearrangement during dedifferentiation of protoplasts of *Cucumis sativus* L. *Molecules and Cells* 27: 4436447.

Ondřej, V., Navrátilová, B., Protivánková, I., Piterková, J., Sedlářová, M., Lebeda, A. (2010): Recondensation level of repetitive sequences in the plant protoplast nucleus is limited by oxidative stress. *Journal of Experimental Botany* 61: 2395-2401.

Papadakis, A. K., Roubelakis-Angelakis, K. A. (2002): Oxidative stress could be responsible for the recalcitrance of plant protoplasts. *Plant Physiology and Biochemistry* 40: 5496559.

Pecinka, A., Schubert, V., Meister, A., Kreth, G., Klatte, M., Lysak, M. A., Fuchs, J., Schubert, I. (2004): Chromosome territory arrangement and homologous pairing in nuclei of *Arabidopsis thaliana* are predominantly random except for NOR-bearing chromosomes. *Chromosoma* 113: 2586269.

Rakoczy-Trojanowska, M. (2002): Alternative methods of plant transformation: a short review. *Cellular and Molecular Biology Letters* 7: 8496858.

Roh, T. Y., Cuddapah, S., et Zhao, K. (2005): Active chromatin domains are defined by acetylation islands revealed by genome-wide mapping. *Genes & Development* 19: 5426552.

Rosypal, S. (1999): Úvod do molekulární biologie. 2. díl, (Molekulární biologie eukaryot). 3. vyd., inovované Brno: Stanislav Rosypal, 600 s.

Shopland, L. S., Lynch, C. R., Peterson, K. A., Thornton, K., Kepper, N., Hase, J., Stein, S., Vincent, S., Molloy K. R., Kreth, G., Cremer, C., Bult, C. J., O'Brien T. P. (2006): Folding and organization of a contiguous chromosome region according to the gene distribution pattern in primary genomic sequence. *Journal of Cell Biology* 174: 27638.

Schubert, V., Klatte M., Pecinka, A., Meister, A., Jasencakova, Z., Schubert, I. (2006): Sister chromatids are often incompletely aligned in meristematic and endopolyploid interphase nuclei of *Arabidopsis thaliana*. *Genetics* 172: 4676475.

Schwarzacher, T., Leitch, A. R., Bennett, M. D., Heslop-Harrison, J. S. (1989): *In situ* localization of parental genomes in a wide hybrid. *Annals of Botany* 64: 3156324.

Snustad, D. P., et Simmons, M. J. (2009): *Genetika*. Nakladatelství Masarykovy univerzity. Brno. 870s.

Sproul, D., N. Gilbert, et W. A. Bickmore (2005): The role of chromatin structure in regulating the expression of clustered genes. *Nature Review Genetics* 6: 7756781.

Taddei, A., Hediger, F., Neumann, F. R., Bauer, C., Gasser, S. M. (2004): Separation of silencing from perinuclear anchoring functions in yeast Ku80, Sir4 and Esc1 proteins. *The EMBO Journal* 23: 1301612.

Tessadori, F., Chupeau, M. Ch., Chupeau, Y., Knip, M., Germann, S., van Driel, R., Fransz, P., Gaudin V. (2007): Large-scale dissociation and sequential reassembly of pericentric heterochromatin in dedifferentiated *Arabidopsis* cells. *Journal of Cell Sciences* 120: 1200±1208.

Tessadori, F., van Driel, R. et Fransz, P. (2004): Cytogenetics as a tool to study gene regulation. *Trends In Plant Science* 9: 147-153.

The *Arabidopsis* genome initiative. (2000): Analysis of the genome sequence of the flowering plant *Arabidopsis thaliana*. *Nature*. Dec 14; 408(6814):796-815.

Tumbar, T., Sudlow, G., Belmont, A. S. (1999): Large-scale chromatin unfolding and remodeling induced by VP16 acidic activation domain. *Journal of Cell Biology* 145: 1341-1354.

van Driel, R., Fransz, P. (2004): Nuclear architecture and genome functioning in plants and animals: what can we learn from both? *Experimental Cell Research* 296: 86-90.

Willetts, N., et Skurray, R. (1987): in *Escherichia coli* and *Salmonella typhimurium*: Cellular and Molecular Biology, 2: 1110-1133.

Zhao, J., Morozova, N., Williams, L., Libs, L., Avivi, Y., Grafi, G. (2001): Two phases of chromatin decondensation during dedifferentiation of plant cells. *The Journal of Biological Chemistry* 276: 22772-22778.